

Póly a nuly penosových funkcí

© Jíí Hospodka

Autorská práva: Uživatel může tento text používat jako studijní materiál bez omezení. Distribuce a tisk je možný pouze se svolením autora.

Uvedený studijní materiál se zabývá vlivem pol penosu lineárního systému na jeho vlastnosti v kmitotové a asové oblasti. Navazuje na kapitulu [odezva.mws](#), zabývající se odezvou lineárního systému na harmonický signál. Pro pochopení této látky je potřebné znát Bodeho aproximaci kmitotových charakteristik (modulové a fázové) penosových funkcí. Penosovou funkci pedpokládáme ve tvaru racionáln lomené funkce. Dále je teba znát Laplaceovu transformaci a její použití pi konstrukci impulzní a pechodové charakteristiky.

restart:

Pro výpoty a kreslení nkrerých graf budeme potebovat tyto knihovny.

```
> with(plots):with(inttrans):with(plottools):
```

Póly penosových funkcí

Pro penosy s jedním pólem pedpokládejme penosovou funkci systému v tomto taru.

```
> P:=K/(p-p1);
```

$$P := \frac{K}{p - p1} \quad (1)$$

Jeden pól v levé polorovin

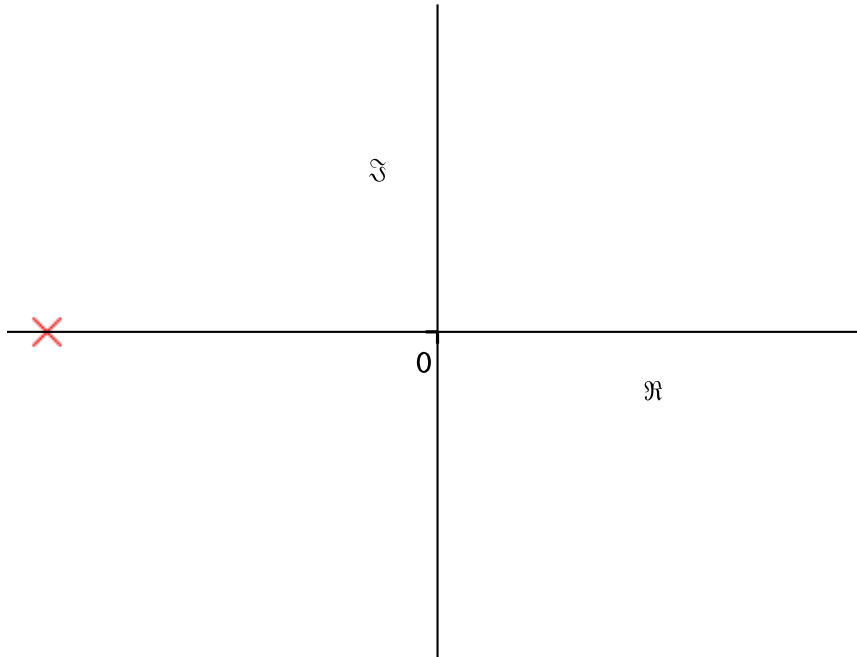
Nap. pro $p1 = -1000$ a $K = 1000$ dostaneme

```
> Pf:=unapply(abs(subs({K=1000,p1=-1000,p=sigma+I*omega},P)),  
(omega,sigma));
```

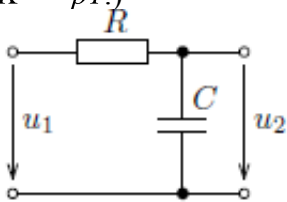
$$Pf := (\omega, \sigma) \rightarrow \frac{1000}{|\sigma + I\omega + 1000|} \quad (1.1)$$

```
> complexplot([-1000],Re=-1100..1100,Im=-1.1..1.1,style=point,  
symbol=diamond,tickmarks=[1,1],title=`Umístní pólu p1`,  
labelfont=[HELVETICA],axesfont=[HELVETICA],symbolsize=25,  
symbol=diagonalcross);
```

Umístění pólu p_1



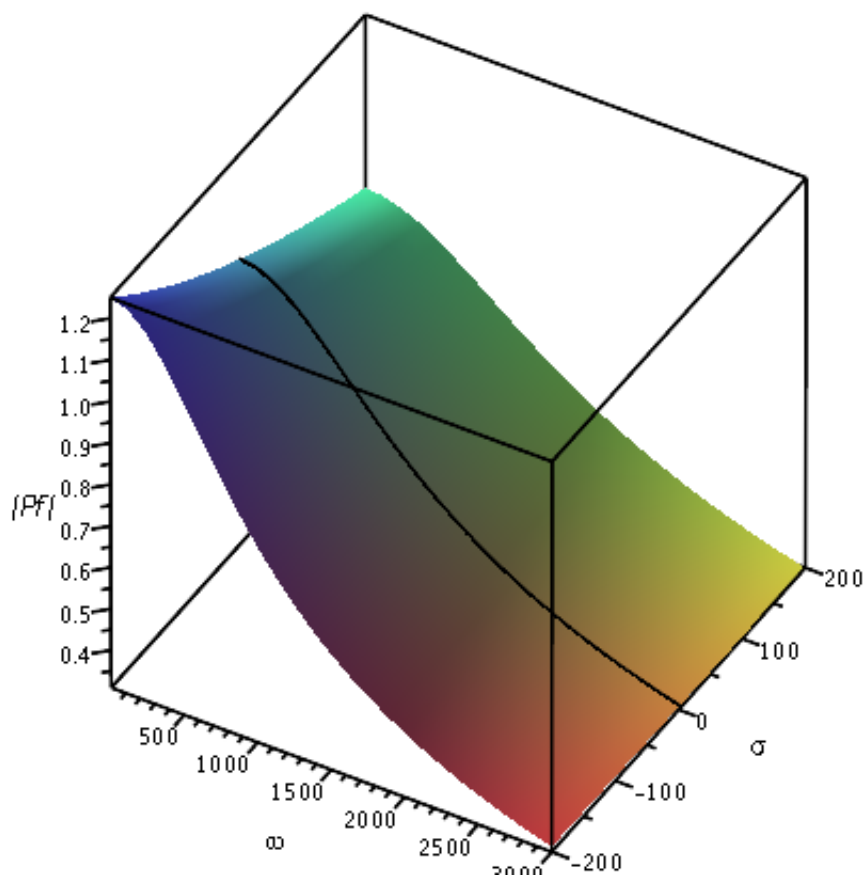
Takovýto penos vykazuje například tento jednoduchý RC láněk. (Pro ss. signál je $P = 1$, proto $K = -p_1$.)



"Komplexní kmitoet" je ve tvaru $p = \sigma + j\omega$.

```
> Surface:=plot3d(Pf,1..3000,-200..200,style=patchnogrid,axes=
box,orientation=[-60,50]):
curve_o:=[omega,0,Pf(omega,0)]:
B_o:=spacecurve(curve_o,omega=1..3000,axes=None,color=black,
thickness=3):
display(Surface,B_o,labels=[omega,sigma,`|Pf|`],title=`Modul
penosu v závislosti na "komplexním kmitotu" p`,labelfont=
[HELVETICA],axesfont=[HELVETICA,8]);
```

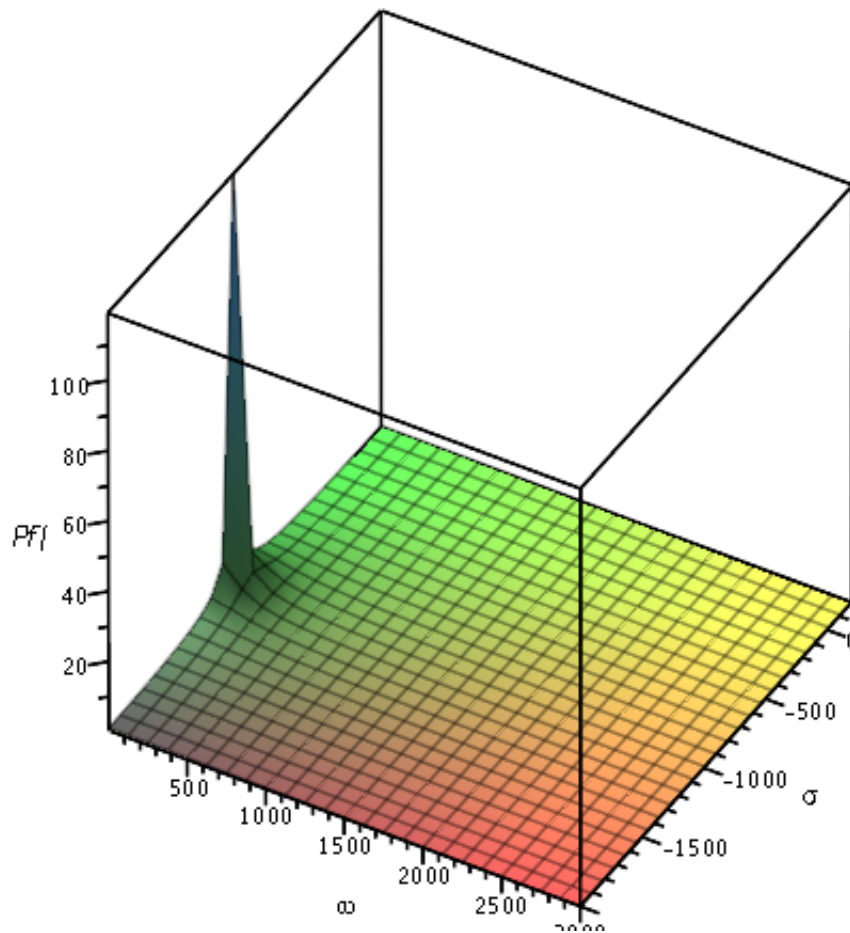
Modul přenosu v závislosti na "komplexním kmitočtu" p



Je zejména, že pro klesající σ vzrůstá penos (pro $\sigma = -1000$ a $\omega = 0$ vykazuje penos maximum ($pp = \infty$)), jak je také vidt na následujícím grafu.

```
> plot3d(Pf,1..3000,-2000..200,style=patch,axes=box,orientation=[-60,50],labels=[omega,sigma,`|Pf|`],title=`Modul penosu v závislosti na "komplexním kmitotu" p`,labelfont=[HELVETICA],axesfont=[HELVETICA,8]);
```

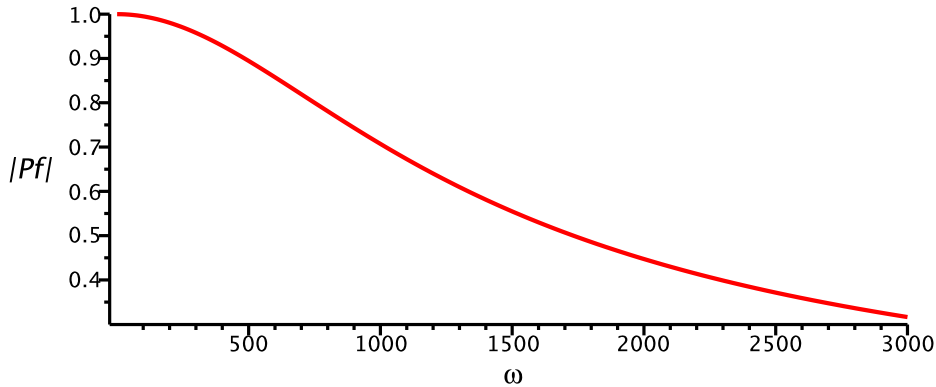
Modul přenosu v závislosti na "komplexní kmitočtu" p



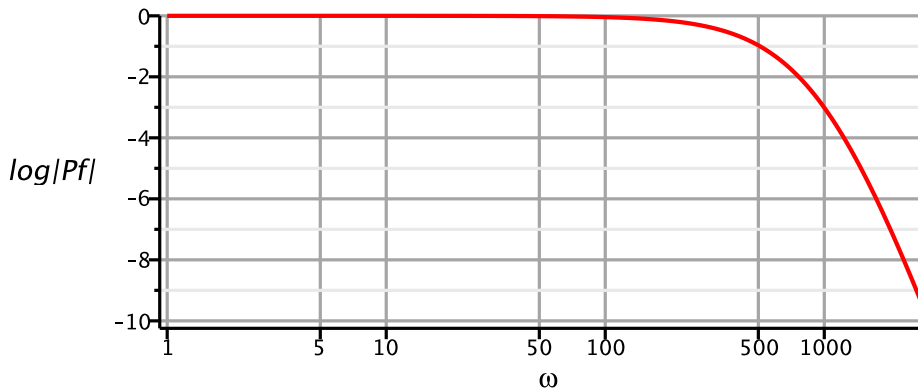
Jestliže nyní vykreslíme prmt tohoto 3D grafu pro $\sigma = 0$ (na prvním grafu oznaeno ernou kivkou) , dostaneme známou modulovou chrakteristiku ($p = j \omega$). Na následujících prbzích je navíc ukázáno srovnání pro lineární a logaritmickou stupnici úhlového kmitotu ω (3D grafy mají lineární mítka). Zlomovým kmitotem (kmitotem, pi nmž modul penosu poklesne o 3dB) je zde pímo hodnota pólu penosové funkce.

```
> plot(Pf(omega,0),omega=1..3000,title=`Modulová charakteristika  
s lineárním mítkem kmitotu`,labels=[omega,`|Pf|`],labelfont=  
[HELVETICA],axesfont=[HELVETICA,8],thickness=2);  
semilogplot(20*log10(Pf(omega,0)),omega=1..3000,y=-10..0,title=  
`Modulová charakteristika s logaritmickým mítkem kmitotu`,  
labels=[omega,`log|Pf|`],axes=FRAME,labelfont=[HELVETICA],  
axesfont=[HELVETICA,8],thickness=2,gridlines=true);
```

Modulová charakteristika s lineárním měřítkem kmitočtu



Modulová charakteristika s logaritickým měřítkem kmitočtu



Jestliže provedeme inverzní Laplaceovu transformaci výrazu pro penos, dostaneme rovnici pro příslušnou impulzní charakteristiku (odezvu na Dirakov pulz), případně i pechodovou charakteristiku (odezvu na jednotkový skok).

```
> Pt:=invlaplace(P, p, t);
```

```
> Ptp:=invlaplace(P/p, p, t);
```

$$Pt := K e^{p_1 t}$$

$$Ptp := \frac{K (e^{p_1 t} - 1)}{p_1}$$

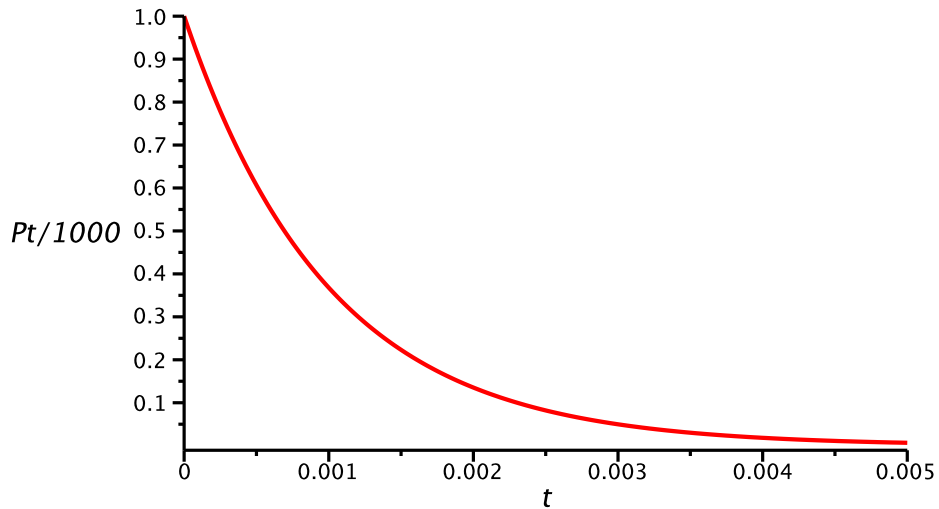
(1.2)

Pro stabilní systém je nutné, aby po odeznní pechodovédo dje se výstupní veliina lineárního systému ustálila na konené hodnot. To znamená, že pól p_1 musí být záporný, jak tomu je v tomto příklad a což dokazuje následující výpoet i graf.

```
> `Pt `(t=infinity)=limit(Pt,t=infinity) assuming (p1<0);
plot(subs({K=1000,p1=-1000},Pt/1000),t=0..0.005,labels=[t,
`Pt/1000`],title=`Impulzní charakteristika`,labelfont=
[HELVETICA],axesfont=[HELVETICA,8],thickness=2);
```

$$Pt(t = \infty) = 0$$

Impulzní charakteristika

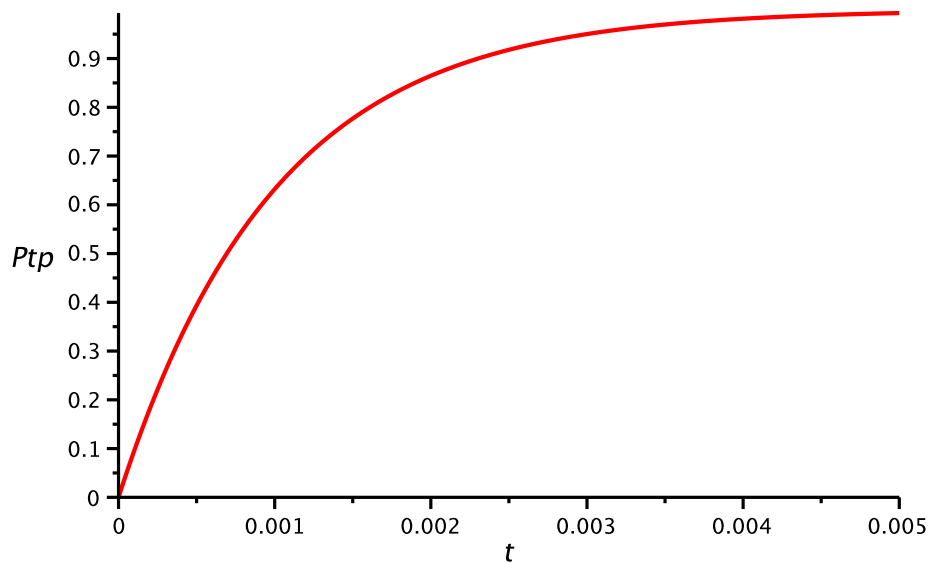


Pro úplnost je uvedena odezva na jedtkový impuls.

```
> `Ptp `(t=infinity)=limit(Ptp,t=infinity) assuming (p1<0);  
plot(subs({K=1000,p1=-1000},Ptp),t=0..0.005,labels=[t,` Ptp`],  
title=`Impulzní charakteristika`,labelfont=[HELVETICA],  
axesfont=[HELVETICA,8],thickness=2);
```

$$Ptp(t = \infty) = -\frac{K}{p1}$$

Impulzní charakteristika



Jeden pól v pravé polorovin

Nap. pro $p1 = 1000$ a $K = 1000$ dostaneme

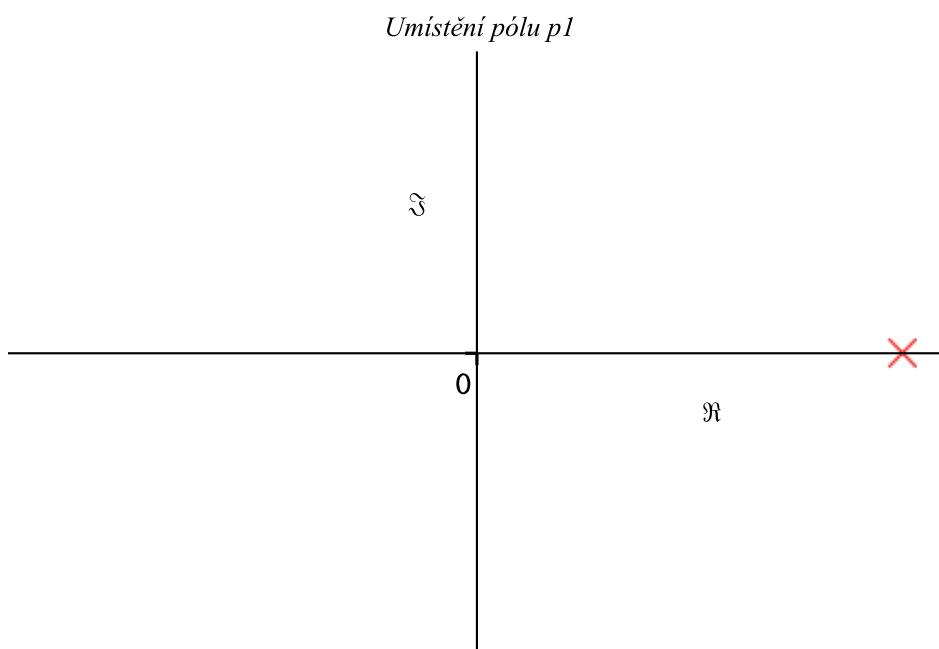
```
> P;
```

```
Pf:=unapply(abs(subs({K=1000,p1=1000,p=sigma+I*omega},P)),
(omega,sigma));
```

$$Pf := (\omega, \sigma) \rightarrow \frac{K}{p - p1} \quad (2.1)$$

$$Pf := (\omega, \sigma) \rightarrow \frac{1000}{|\sigma + I\omega - 1000|}$$

```
> complexplot([1000],Re=-1100..1100,Im=-1.1..1.1,style=point,
symbol=diamond,tickmarks=[1,1],title=`Umístění pólu
p1`,labelfont=[HELVETICA],axesfont=[HELVETICA],symbolsize=25,
symbol=diagonalcross);
```



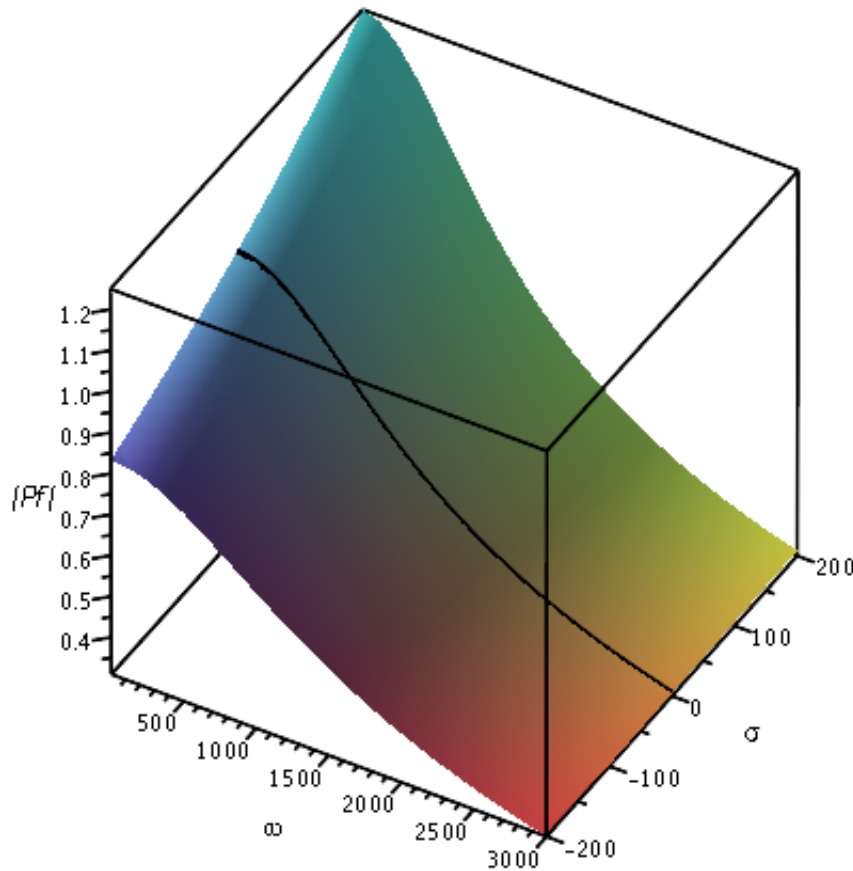
Zde analogicky k předchzímu příkladu pro vzrůstající σ , vzrůstá i *hypotetický* penos (pro $\sigma = 1000$ a $\omega = 0$ vykazuje modul penosu maximum ($pp = \infty$)). Pro jsme nazvali penos *hypotetickým* se ukáže v závru této sekce.

Na následujícím grafu je již vykreslen pouze výez.

```
> Surface:=plot3d(Pf,1..3000,-200..200,style=patchnograd,axes=
box,orientation=[-60,50]):
curve_o:=[omega,0,Pf(omega,0)]:
B_o:=spacecurve(curve_o,omega=1..3000,axes=none,color=black,
thickness=3):
```

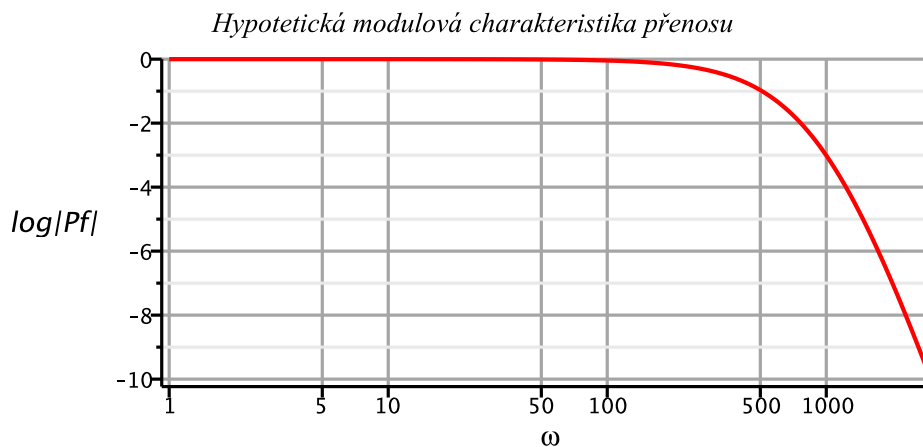
```
display(Surface,B_o,labels=[omega,sigma,`|Pf|`],title=
`Hypotetický modul penosu v závislosti na "komplexním kmitotu"
p`,labelfont=[HELVETICA],axesfont=[HELVETICA,8]);
```

Hypotetický modul přenosu v závislosti na "komplexním kmitočtu" p



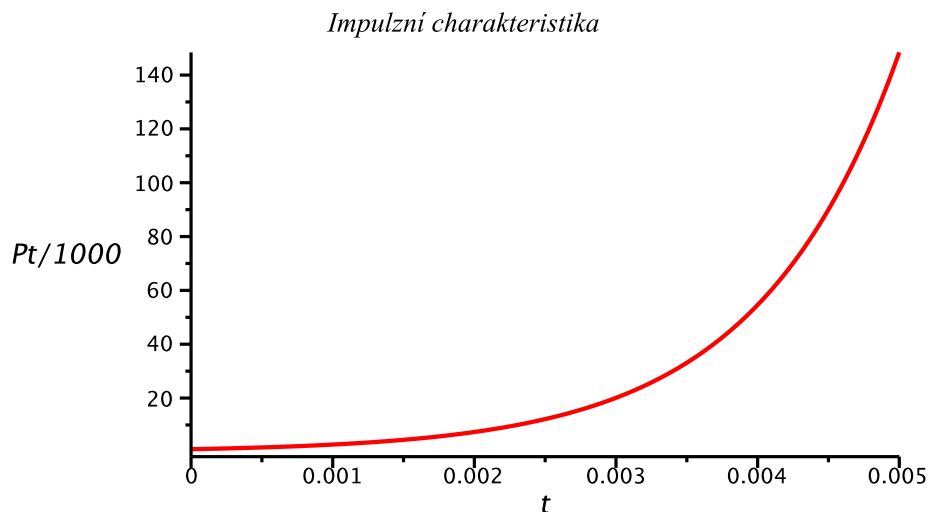
Jak je zejmé, bude *hypotetická* modulová charakteristika takového penosu vykazovat stejný prbh jako v peděšlém pípad. Co se týe samotného prbhu se bude lišit pouze charakteristika fázová, a to posunutím o π (není vykreslena).

```
> semilogplot(20*log10(Pf(omega,0)),omega=1..3000,y=-10..0,title=
`Hypotetická modulová charakteristika penosu`,labels=[omega,
`log|Pf|`],axes=FRAME,labelfont=[HELVETICA],axesfont=
[HELVETICA,8],thickness=2,gridlines=true);
```

Odezva na Dirakov impuls však má tvar, z ehož vyplývá, že obvod popsany výše uvedeným penosem je nestabilní, a tudíž **nelze mluvit ani o penosu ani o kmitotové charakteristice (nelze použít substituci $p = I\omega$, tj. FT, viz. [odezva.mws](#))**. Výše uvedené grafy jsou tudíž pouhým vykreslením matematického výrazu a nemají s realitou obvodu nic spoleného! Z tohoto dvodu jsme je nazývali *hypotetickými*. Ze stejného dvodu není uvedená ani možná realizace obvodu. Tato realizace by byla pouze teoretická, protože pro žádný reálný systém není možné, aby jakýkoli signál rostl nade všechny meze, jak to ukazuje následující prbh. Reálný systém je ve své podstat vždy nelineární a tyto nelinearity vždy omezí velikost jakéhokoli signálu.

```
> plot(subs({K=1000,p1=1000},Pt/1000),t=0..0.005,labels=[t,`
Pt/1000`],title=`Impulzní charakteristika`,labelfont=
[HELVETICA],axesfont=[HELVETICA,8],thickness=2);
```



▼ Komplexn sdružená dvojice pól

```
> P:=K/(p-p1)/(p-p2);
```

$$P := \frac{K}{(p - p_1)(p - p_2)} \quad (3.1)$$

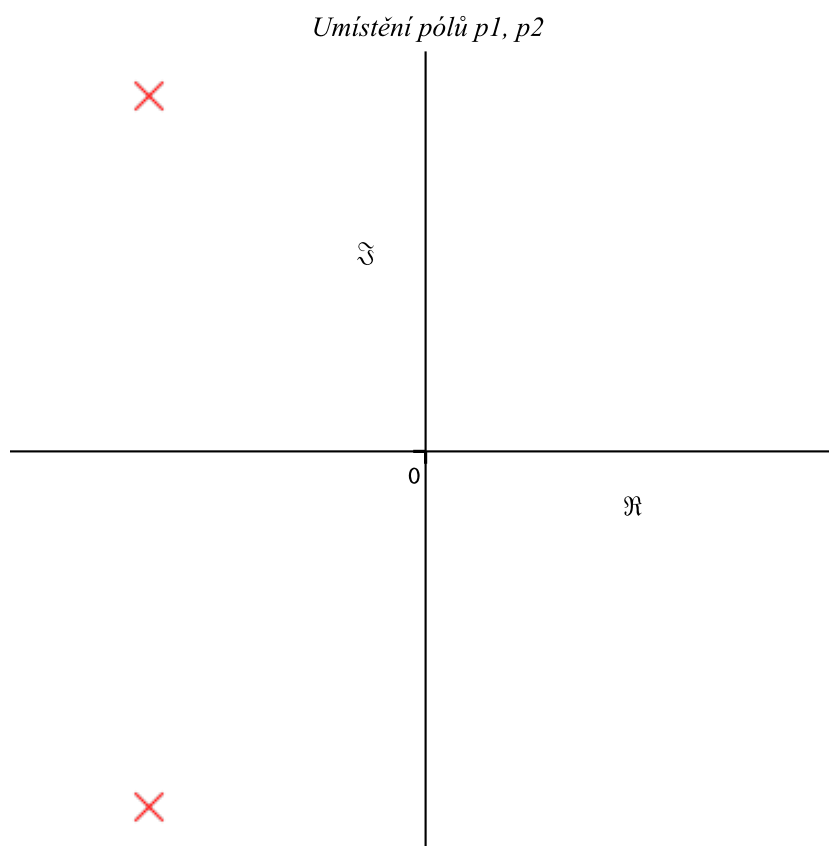
Komplexn sdružená dvojice pól se zápornou reálnou částí

Nap. pro $p_1 = -200 + I \cdot 980$, $p_2 = -200 - I \cdot 980$ a $K = 1000^2$ dostaneme

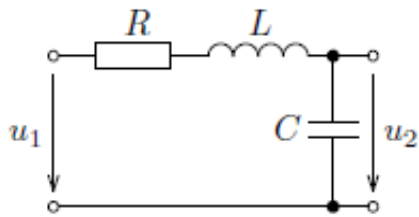
```
> Pf:=abs(subs({K=1000^2,p1=-200+I*980,p2=-200-I*980,p=sigma+I*omega},P));
```

$$Pf := 1000000 \left| \frac{1}{(\sigma + I\omega + 200 - 980I)(\sigma + I\omega + 200 + 980I)} \right| \quad (3.1.1)$$

```
> complexplot([-200+I*980,-200-I*980],Re=-300..300,Im=-1100.1100,style=point,symbol=cross,tickmarks=[1,1],title=`Umístění pól p1, p2`,labelfont=[HELVETICA],axesfont=[HELVETICA,8],symbolsize=25,symbol=diagonalcross);
```



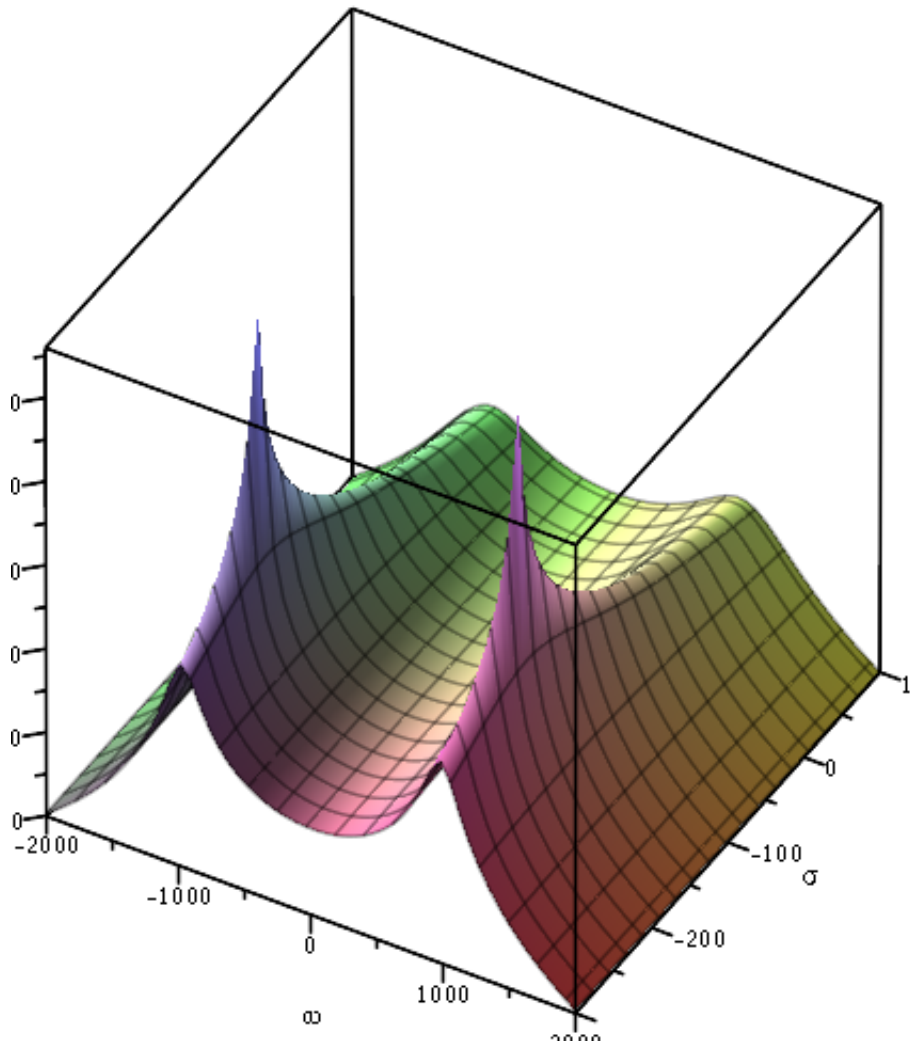
Penos tohoto typu vykazyje napíklad takovýto jednoduchý rezonanní RLC obvod.



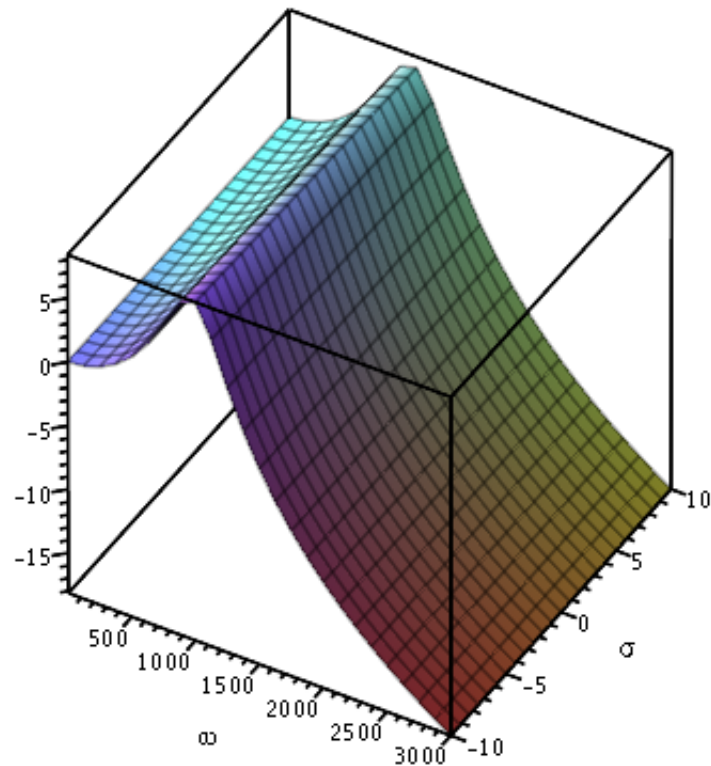
V následujících grafech je vynášen penos vždy v dB, abychom dosáhli "větší dynamiky" na ose penosu. Z těchto a předcházejících graf je také zejména, pro pouze komplexně združené koeficienty mohou vyvolat tzv. "pekmit" na modulové charakteristice. Tím, že má pól nenulovou imaginární část nastává maximum $|pp|$ na jiném kmitotu než na $\omega = 0$. (nastává pro $p = -200 - I \cdot 980$ a $p = -200 + I \cdot 980$).

```
> plot3d(20*log10(Pf),omega=-2000..2000,sigma=-300..100,style=
patch,axes=box,orientation=[-60,50],numpoints=2000,labels=
[`\omega`,`sigma`,`20*log|Pf|`],numpoints=3000,title=`Modul
penosu v závislosti na "komplexním kmitotu"p`,labelfont=
[HELVETICA],axesfont=[HELVETICA,8]);
plot3d(20*log10(Pf),omega=1..3000,sigma=-10..10,style=patch,
axes=box,orientation=[-60,50],title=`Modul penosu v
závislosti na "komplexním kmitotu" p`,labelfont=[HELVETICA],
axesfont=[HELVETICA,8]);
```

Modul přenosu v závislosti na "komplexním kmitočtu" p



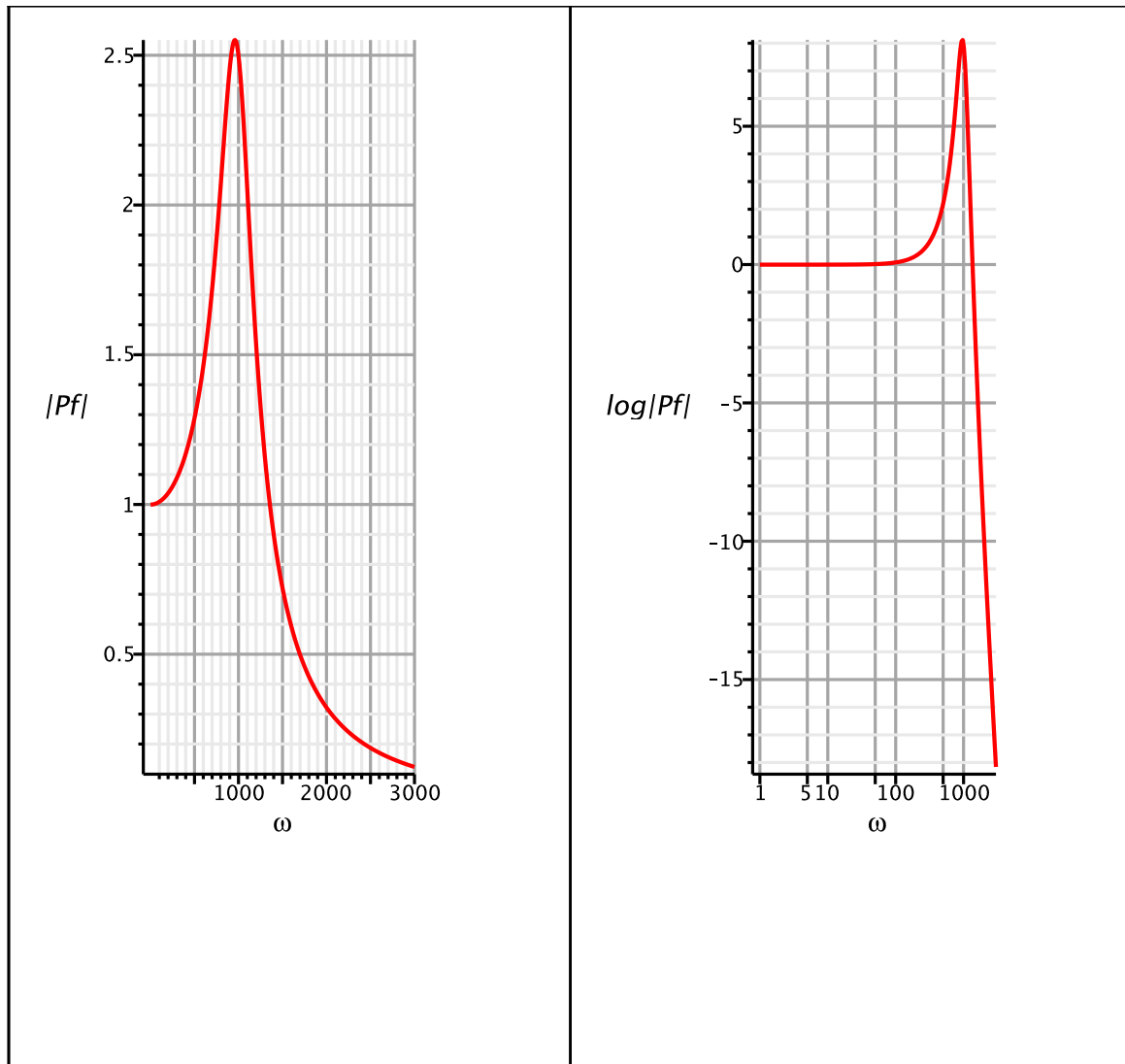
Modul přenosu v závislosti na "komplexním kmitočtu" p



Je pochopitelné, že pro reálný kladný kmitoet nenastane maximum penosu, ale může nastat poze "pekmit" modulové charakteristiky tak, jak je vidt na tomto obrázku. Dále už budeme vykreslovat grafy pouze pro kladné ω .

Následuje prbh modulové charakteristiky penosu vykreslený v lineárním a logaritmickém mítku .

```
> display(matrix(1,2,[plot(subs(sigma=0,Pf),omega=1..3000,
  labels=[omega,`|Pf|`],axes=FRAME,labelfont=[HELVETICA],
  axesfont=[HELVETICA,8],thickness=2,gridlines=true),
  semilogplot(20*log10(subs(sigma=0,Pf)),omega=1..3000,labels=
  [omega,`log|Pf|`],axes=FRAME,labelfont=[HELVETICA],axesfont=
  [HELVETICA,8],thickness=2,gridlines=true)],array));
```



asovou odezvu tohoto systému na Diracův impuls ukážeme v závru celé této seckce. Tuto otázku potom vyešíme obecnji pro všechny typy lineárních sysrém, tedy i nestabilními, kterými se pro úplnost budeme zabývat v následujícím výkladu.

▼ Komplexn sdružená dvojice pól s nulovou reálnou částí

Tento systém bychom mohli teoreticky realizovat díve uvedeným rezonanním obvodem RLC s nulovým odporem rezistoru. V praxi však nelze vytvoit bezestrátový pasivní obvod a obvod s tímto penosem lze realizovat s použitím aktivních prvk (oscilátory).

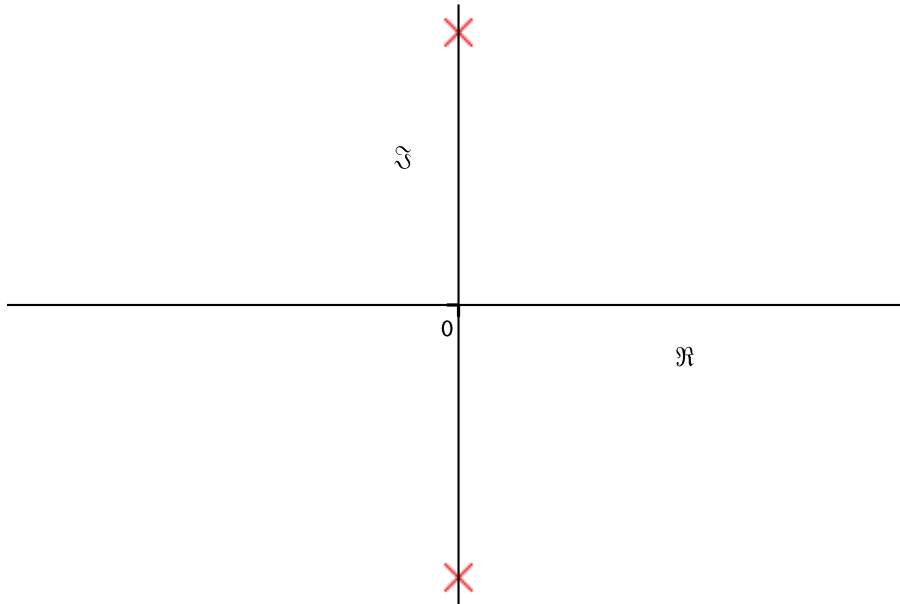
Nap. pro $p_1 = I \cdot 1000$, $p_2 = -I \cdot 1000$ a $K = 1000^2$ dostaneme

```
> Pf:=abs(subs({K=1000^2,p1=I*1000,p2=-I*1000,p=sigma+I*omega},
P));
```

$$Pf := 1000000 \left| \frac{1}{(\sigma + I\omega - 1000I)(\sigma + I\omega + 1000I)} \right| \quad (3.2.1)$$

```
> complexplot([I*1000,-I*1000],Re=-300..300,Im=-1100..1100,
style=point,symbol=diamond,tickmarks=[1,1],title=`Umístní
pól p1, p2`,labelfont=[HELVETICA],axesfont=[HELVETICA,8],
symbolsize=25,symbol=diagonalcross);
```

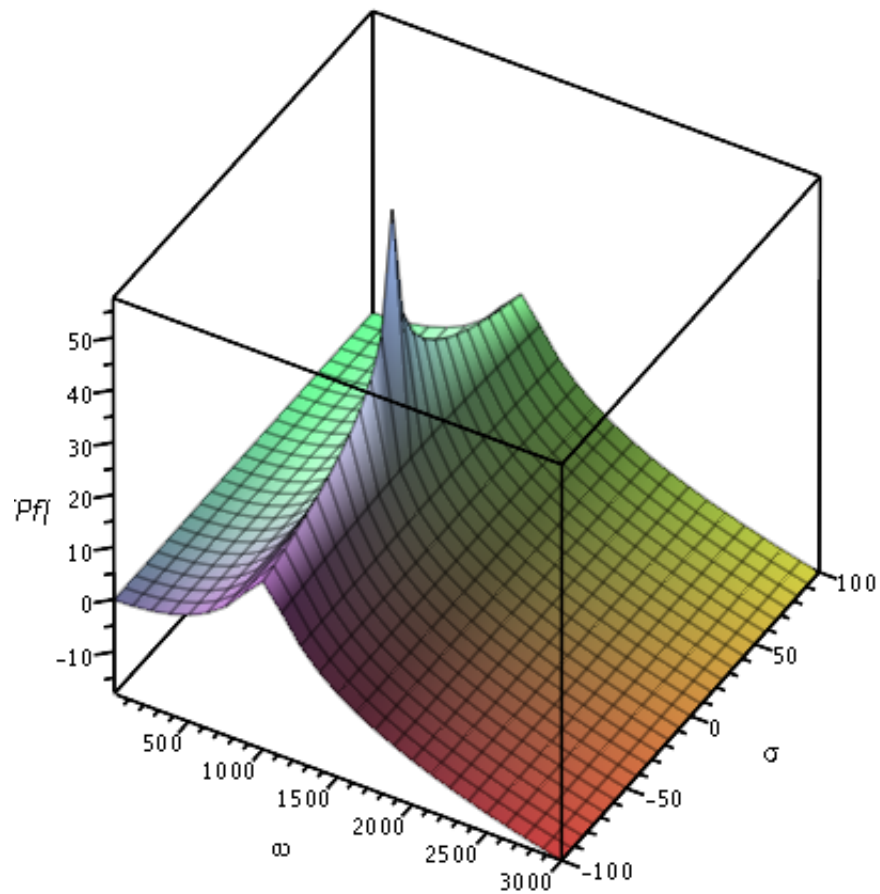
Umístění pólů p_1, p_2



V následujících grafech je vynášen penos opt v dB. Navíc v tomto případě se jedná o penos hypotetický (nereálný), jak ukážeme dále.

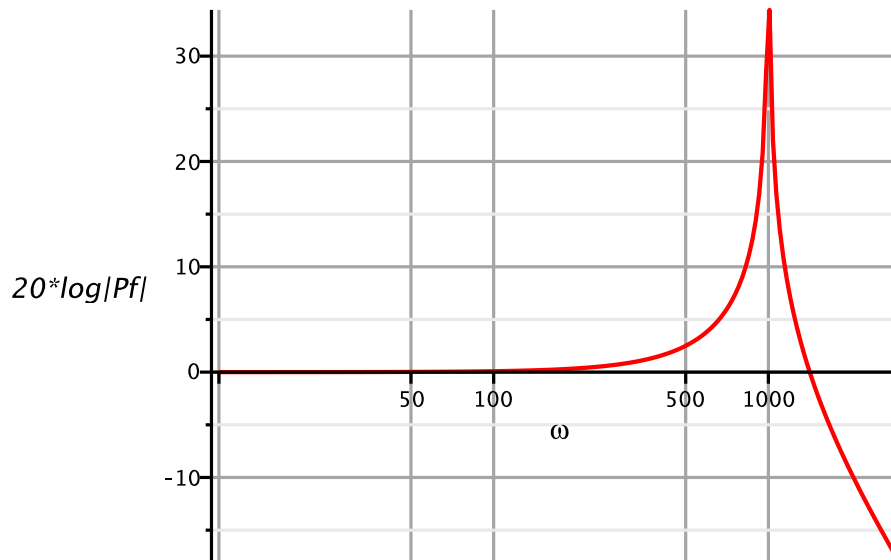
```
> plot3d(20*log10(Pf),omega=1..3000,sigma=-100..100,style=
  patch,axes=box,orientation=[-60,50],labels=['`omega``,`sigma`',
  `20*log|Pf|`],title=`Hypotetický modul penosu v závislosti
  na "komplexním kmitotu" p`,`labelfont=[HELVETICA],axesfont=
  [HELVETICA,8]);
```

Hypotetický modul přenosu v závislosti na "komplexním kmitočtu" p



```
> semilogplot(20*log10(subs(sigma=0,Pf)),omega=10..3000,title=  
`Hypotetická modulová charakteristika penosu`,labels=  
[`omega`,`20*log|Pf|`],labelfont=[HELVETICA],axesfont=  
[HELVETICA,8],thickness=2,gridlines=true);
```


Hypotetická modulová charakteristika přenosu



Zde již je patrné, že modul penosu je pouze hypotetický, jelikož roste nade všechny meze pro reálný kmitoet (v grafu pouze na cca 35 dB díky konenému potu bod; dkazem je však následující limita.

```
> `Pf `(omega=1000, sigma=0)=limit(subs(sigma=0,Pf),omega=1000)
;
```

$$Pf(\omega = 1000, \sigma = 0) = \infty \quad (3.2.2)$$

asovou odezvu tohoto systému na Diracv impuls ukážeme opt v závru celé této seckce.

Komlexn sdružená dvojice pól s kladnou reálnou ástí

Obvod s tímto penosm lze *teoreticky* realizovat pouze s využitím aktivních prvk, viz pípád jednoduchého pólu v pravé polorovin.

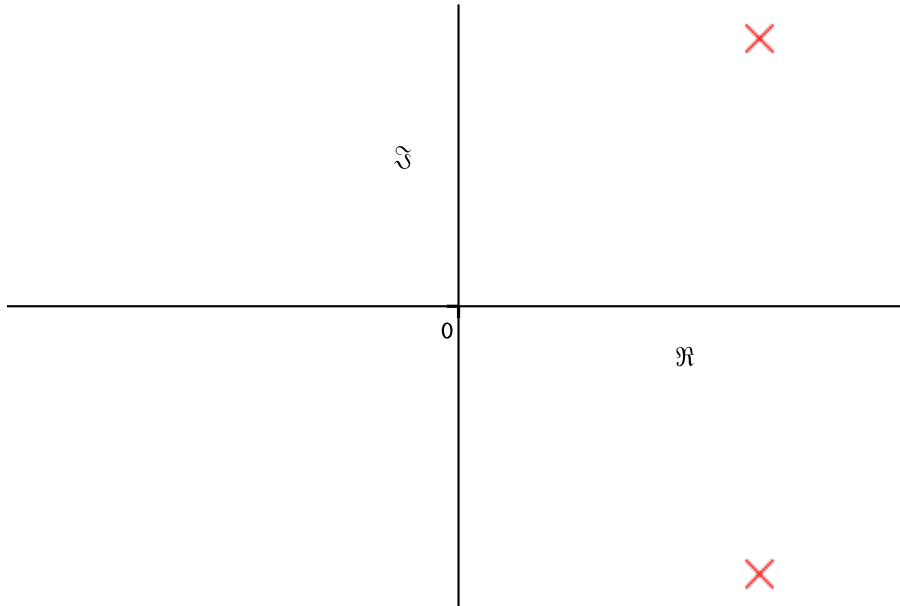
Nap. pro $p1 = 200 + I \cdot 980$, $p2 = 200 - I \cdot 980$ a $K = 1000^2$ dostaneme

```
> Pf:=abs(subs({K=1000^2,p1=+200+I*980,p2=+200-I*980,p=sigma+I*
omega},P));
```

$$Pf := 1000000 \left| \frac{1}{(\sigma + I\omega - 200 - 980I)(\sigma + I\omega - 200 + 980I)} \right| \quad (3.3.1)$$

```
> complexplot([200+I*980,200-I*980],Re=-300..300,Im=-1100.
.1100,style=point,symbol=cross,tickmarks=[1,1],title=
`Umístní pól p1, p2`,labelfont=[HELVETICA],axesfont=
[HELVETICA,8],symbolsize=25,symbol=diagonalcross);
```

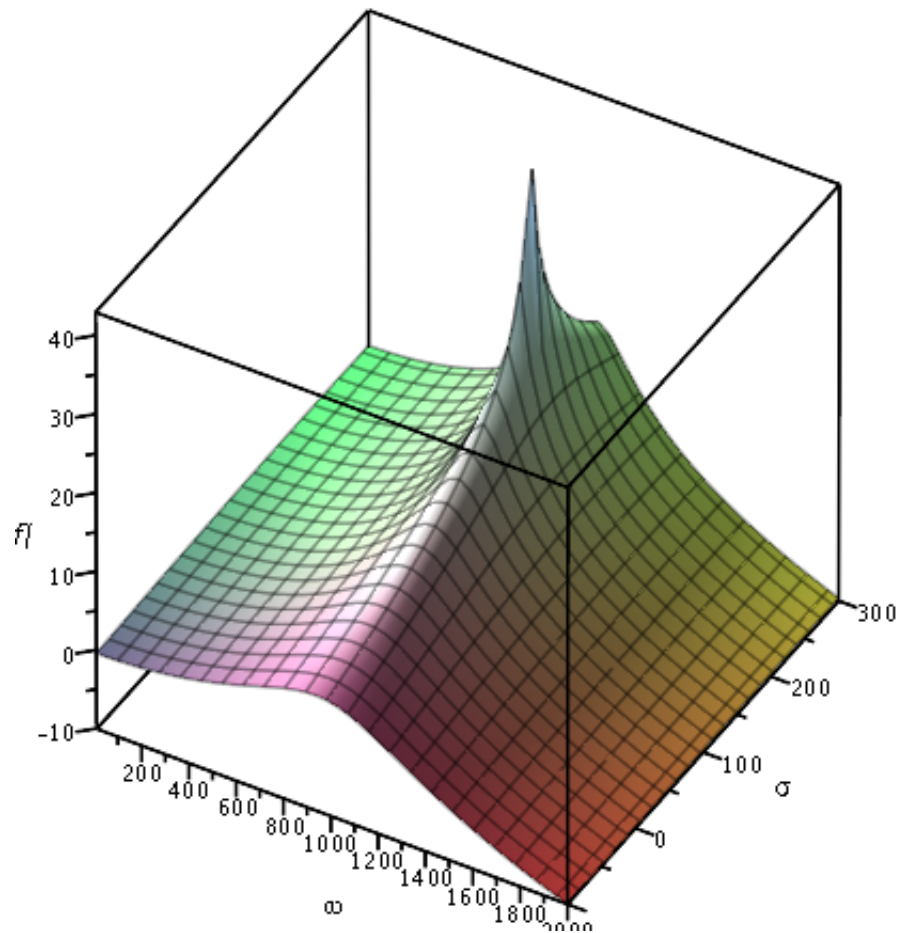
Umístění pólů p_1, p_2



Jako v předchozím příklad je i zde vynášenenos v dB a opt, z důvodu nestability, je nos hypotetický.

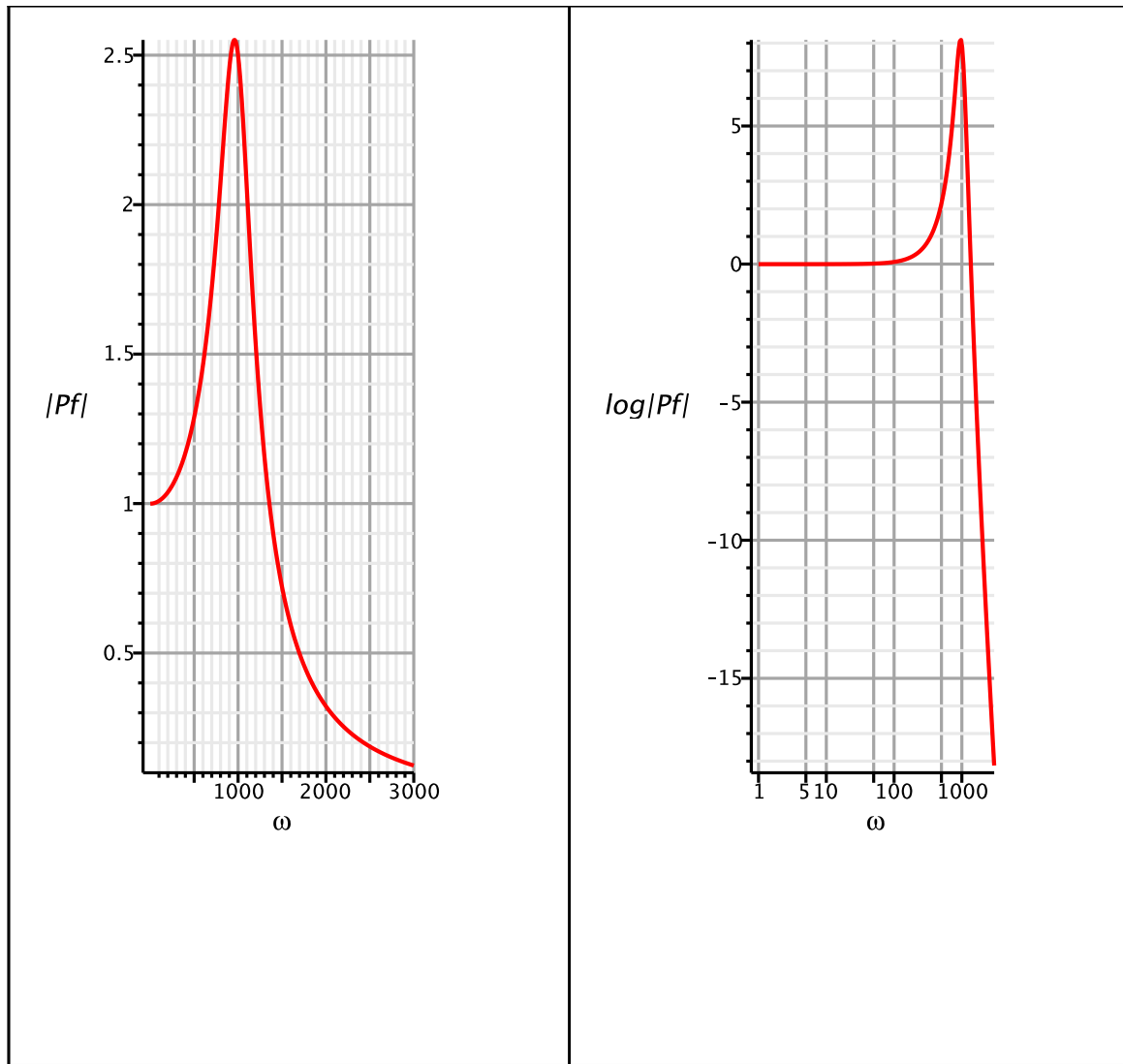
```
> plot3d(20*log10(Pf),omega=10..2000,sigma=-100..300,style=
  patch,axes=box,orientation=[-60,50],numpoints=2000,title=
  `Hypotetický modul nosu v závislosti na "komplexním
  kmitotu" p`,labels=[`omega`,`sigma`,`20*log|Pf|`],labelfont=
  [HELVETICA],axesfont=[HELVETICA,8]);
```

Hypotetický modul přenosu v závislosti na "komplexním kmitočtu" p



Opt následuje prbh hypotetické modulové charakteristiky penosu vykreslený v lineárním a logaritmicím mítku ω .

```
> display(matrix(1,2,[plot(subs(sigma=0,Pf),omega=1..3000,
  labels=[omega,`|Pf|`],axes=FRAME,labelfont=[HELVETICA],
  axesfont=[HELVETICA,8],thickness=2,gridlines=true),
  semilogplot(20*log10(subs(sigma=0,Pf)),omega=1..3000,labels=
  [omega,`log|Pf|`],axes=FRAME,labelfont=[HELVETICA],axesfont=
  [HELVETICA,8],thickness=2,gridlines=true)],array));
```



asové odezvy systém se dvma póly

Pro výše popsaný penos lze najít pomocí zptné Laplaceovy transformace výraz pro impulzní charakteristiku,

```
> Pt:=invlaplace(P, p, t);
```

což je zejmé, uvdómíme-li si, že lze zmínný penos pepsat do tvaru sotu áštených zlomk.

```
> P=convert(P,parfrac,p);
```

$$Pt := \frac{K(-e^{p_2 t} + e^{p_1 t})}{p_1 - p_2}$$

$$\frac{K}{(p - p_1)(p - p_2)} = \frac{K}{(p_1 - p_2)(p - p_1)} - \frac{K}{(p_1 - p_2)(p - p_2)} \quad (3.4.1)$$

Pro obecn zadané komplexn sdružené póly penosu ($\sigma_p + j\omega_p$, $\sigma_p - j\omega_p$), lze potom impulzní charakteristiku vyjádít ve tvaru:

```
> Ptk:=evalc(subs({p1=sigma[p]+I*omega[p],p2=sigma[p]-I*omega[p]},Pt));
```

(3.4.2)

$$Ptk := \frac{K e^{t\sigma_p} \sin(t\omega_p)}{\omega_p} \quad (3.4.2)$$

Úpravou tvaru ptt (vyjádřením reálné části) jsme získali předpokládaný výsledek. Je zejména, že imaginární část reálného signálu (odezvy) musí být nulová.

Dříve než si ukážeme konkrétní průběh impulzní charakteristiky, zastavme se u daného výsledku impulzní charakteristiky $Re(ptt)$. Je vidět, že přítomnost komplexně sdružených pólů v přenosové funkci má za následek výskyt tlumené harmonické složky ve výstupním signálu (přirozené odezvy).

Kmitočet sinusové složky je roven **přirozenému (vlastnímu) kmitotu** ω_p ; σ_p se nazývá

absolutním initelem tlumení. Jak je z vidět ze vztahu $Re(ptt)$, musí být pro stabilní systém

tento initel záporný, resp. musí platit $\lim_{t \rightarrow \infty} e^{t\sigma_p} = 0$.

Nyní roznásobíme výraz pro přenos a dosadíme za koeficienty výrazy $p1 = \sigma_p + I\omega_p$, $p2 = \sigma_p - I\omega_p$

```
> Pk:=K/expand(subs({p1=sigma[p]+I*omega[p],p2=sigma[p]-I*omega
[p]},denom(P)));
```

$$Pk := \frac{K}{p^2 - 2p\sigma_p + \sigma_p^2 + \omega_p^2} \quad (3.4.3)$$

Provedeme nové přeznačení, které jak dále ukážeme bude výhodné pro charakterizaci přenosu s komplexními póly.

```
> omega[0]^2=omega[p]^2+sigma[p]^2;
xi=abs(sigma[p])/omega[0];
Q=omega[0]/2/abs(sigma[p]);
```

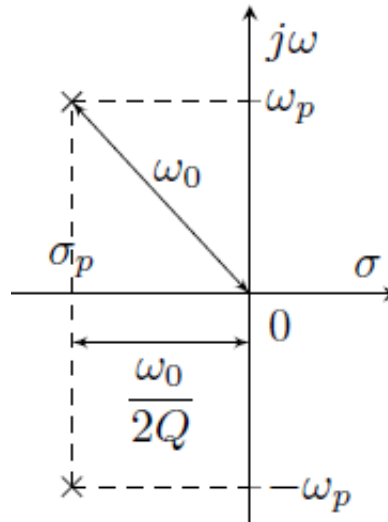
Je patrné, že ω_0 vyjadřuje modul pólu ($|p1| = |p2|$). Tento kmitočet je vlastně *zlomovým kmitotem* modulové charakteristiky stabilního systému, přičemž si musíme uvědomit, že v případě komplexně sdruženého pólu závisí tvar kmitočtových charakteristik jak na ω_0 , tak na Q nebo ξ (při dvojnásobném reálném pólu vykazuje modul přenosu pro $\omega = \omega_0$ pokles o 6dB).

Jelikož výše zmíněný absolutní initel tlumení σ_p není výhodné udávat, protože bychom jej museli udávat spolu s vlastním kmitotem ω_p , definujeme initel ξ nebo astji Q . initel ξ se pro stabilní systém ($\sigma_p < 0$) nazývá **relativní initel tlumení** a initel Q **initel jakosti** příslušející dané dvojici komplexně sdružených pólů. Vztah mezi zlomovým kmitotem ω_0 a ω_p , σ_p je zřejmý z následujících rovností, nebo názorněji z níže uvedených obrázků. Initel jakosti Q navíc velmi názorně vystihuje průběh modulové charakteristiky, jak dále ukážeme. Při zlomovém kmitotu může modulová charakteristika vykazovat jak překmit, tak pokles oproti "asymptotické" hodnotě, přičemž skutečná hodnota modulu přenosu při tomto kmitotu je Q násobkem "asymptotické" hodnoty.

$$\omega_0^2 = \omega_p^2 + \sigma_p^2$$

$$\xi = \frac{|\sigma_p|}{\omega_0}$$

$$Q = \frac{1}{2} \frac{\omega_0}{|\sigma_p|} \quad (3.4.4)$$



Předpokládejme koeny v levé polorovin ($\sigma_p < 0$, tj. $\sigma_p = -\frac{\omega_0}{2Q}$). Výraz pro penos nyní můžeme pepsat do následujícího tvaru.

> `Pq:=subs({omega[p]^2=omega[0]^2-(omega[0]/2/Q)^2,sigma[p]=-omega[0]/2/Q},Pk);`

$$Pq := \frac{K}{p^2 + \frac{p \omega_0}{Q} + \omega_0^2} \quad (3.4.5)$$

Pro koeny platí:

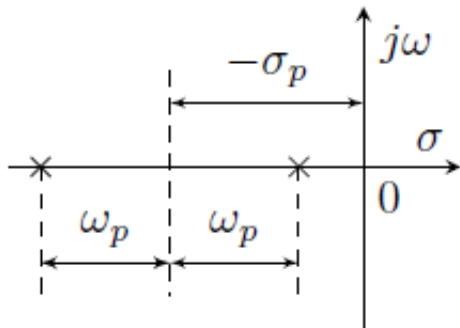
> `p12:=solve(denom(Pq),p);`

$$p12 := \frac{1}{2} \frac{(-1 + \sqrt{1 - 4Q^2}) \omega_0}{Q}, -\frac{1}{2} \frac{(1 + \sqrt{1 - 4Q^2}) \omega_0}{Q} \quad (3.4.6)$$

Podle hodnoty initele jakosti Q můžeme provést následující dlení (pro jednoduchost volíme pro všechny případy stejný kmitoet $\omega_0 = 1000$, aniž bychom se dopustili jakéhokoliv omezení obecnosti).

1. Pro $Q < 1/2$, resp. $\xi > 1$ dostaneme dva rzné reálné póly, pro nž má impulzní charakteristika níže uvedený tvar a prbh. Pokud bychom chtli použít vyjádění pomocí výše uvedených parametr Q a ω_0 pro charakterizaci dvou rzných pól ležících na záporné reálné ose, lze to

unit následovně:



```
> Q1:=1/10;
xi=1/(2*Q1);
omega[0]=1000;
'p12'=evalf(subs({Q=Q1,omega[0]=1000},[p12]));
Pt1:=evalf(subs({K=1000^2,p1=subs({Q=Q1,omega[0]=1000},[p12])
[1],p2=subs({Q=Q1,omega[0]=1000},[p12])[2]},Pt));
plot(Pt1,t=0..0.05,title='Impulzní charakteristika',
labelfont=[HELVETICA],axesfont=[HELVETICA,8],thickness=2);
```

$$Q1 := \frac{1}{10}$$

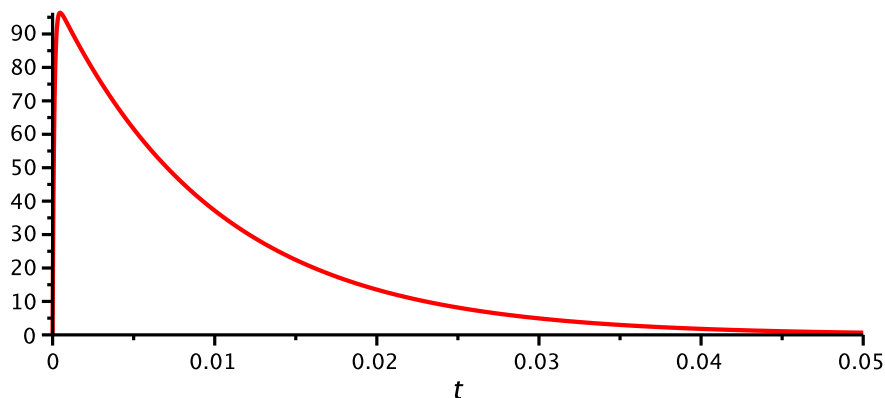
$$\xi = 5$$

$$\omega_0 = 1000$$

$$p12 = [-101.020514, -9898.979486]$$

$$Pt1 := -102.0620726 e^{-9898.979486 t} + 102.0620726 e^{-101.020514 t}$$

Impulzní charakteristika



2. Pro $Q = 1/2$, resp. $\xi = 1$ dostaneme dva stejné reálné póly (dvojnásobný pól), pro něž má impulzní charakteristika následující tvar a prbh. Pro tento případ však musíme nejprve dopočítat obecný vztah pro časovou odezvu Pt z upraveného vztahu pro přenos. časová odezva

práv ještě nevykazuje kmitavou odezvu, modulová charakteristika práv nebude vykazovat pekmit a pokles chrakteristiky v bod zlomu je 6 dB.

```
> P2:=subs(p2=p1,P);
Pt2:=invlaplace(P2, p, t);
Q2:=1/2;
xi=1/(2*Q2);
omega[0]=1000;
'p12'=evalf(subs({Q=Q2,omega[0]=1000},[p12]));
Pt2:=evalf(subs({K=1000^2,p1=subs({Q=Q2,omega[0]=1000},[p12])
[1],p2=subs({Q=Q2,omega[0]=1000},[p12])[2]},Pt2));
plot(Pt2,t=0..0.05,title=`Impulzní charakteristika`,
labelfont=[HELVETICA],axesfont=[HELVETICA,8],thickness=2);
```

$$P2 := \frac{K}{(p - p1)^2}$$

$$Pt2 := K t e^{p1 t}$$

$$Q2 := \frac{1}{2}$$

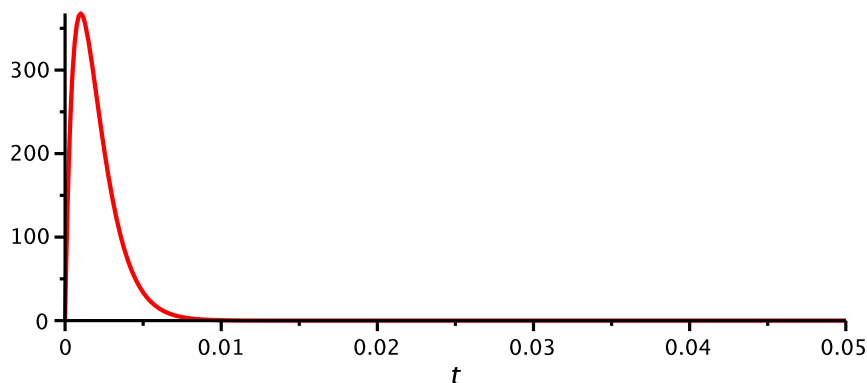
$$\xi = 1$$

$$\omega_0 = 1000$$

$$p12 = [-1000., -1000.]$$

$$Pt2 := 1.000000 \cdot 10^6 t e^{-1000 \cdot t}$$

Impulzní charakteristika



3. Pro $Q > 1/2$, resp. $\xi < 1$ dostaneme dva komplexn sdružené póly se zápornou reálnou částí, pro něž má impulzní charakteristika kmitavý, harmonický, tlumený prbh. Jak rychle se tato kmitavá odezva utlumí, záleží na velikosti initele tlumení, resp. na hodnot initele jakosti Q . Je samozřejmě, že se pi mnící hodnot q , bude mnit i tvar píslušné modulové charakteristiky (pi vzrastajícím Q se bude zvtšovat i velikost "pekmitu" na modulvé charakteristice). Zde je nutné ještě rozlišovat nekolik pípad.

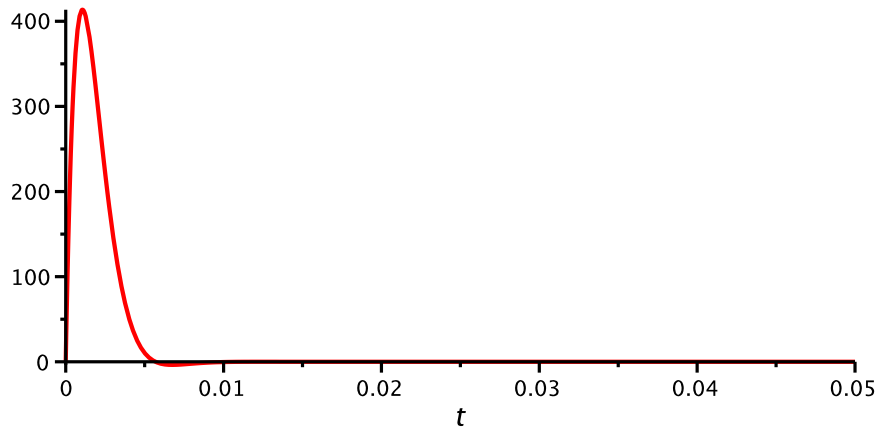
- $\frac{1}{2} < \left(Q < \frac{1}{\sqrt{2}} \right)$ Tehdy je $\sigma_n > \omega_n$ a tlumení je ještě velké $\left(\frac{1}{\sqrt{2}} < \xi < 1 \right)$, že se signál prakticky dříve utlumí, než dojde k periodickým kmitům (vzniká jeden až dva pekmity). Na tomto příklad je velmi dobře vidět důvod a výhody definice inerte jakosti, který udává "velikost tlumení" relativně k délce period vlastních kmitů, oproti absolutnímu inerti tlumení, který je vztažen pouze k času t . Modulová charakteristika nebude ještě vykazovat pekmity.
- $Q = \frac{1}{\sqrt{2}}$ Toto je zvláštní případ, kdy $\sigma_n = \omega_n$, resp. $Q = \xi$. Impulzní charakteristika je sice méně tlumena než v předchozím případě. Tlumení je však stále velké ($\xi = Q$), takže opět dojde jen k jednomu, dvěma pekmity. Modulová charakteristika ještě nebude vykazovat pekmity a pokles charakteristiky v bod zlomu je 3dB. Jedná se o tzv. **Maximálně plochou modulovou charakteristiku**.
- $\frac{1}{\sqrt{2}} < (Q < \infty)$ Tehdy je $\sigma_n < \omega_n$ a tlumení je již malé natolik $\left(0 < \xi < \frac{1}{\sqrt{2}} \right)$, že je na impulzní charakteristice zřetelně vidět přítomnost harmonické složky. Modulová charakteristika bude vykazovat pekmity, tak jak bylo ukázáno výše.

$$\begin{aligned} \frac{1}{2} < \left(Q < \frac{1}{2} \sqrt{2} \right) \\ Q &= \frac{1}{2} \sqrt{2} \\ \frac{1}{2} \sqrt{2} < (Q < \infty) \end{aligned} \tag{3.4.7}$$

Nyní následují ukázky k jednotlivým bodům.

```
> Q3a:=0.6;
xi=1/(2*Q3a);
omega[0]=1000;
'p12'=evalf(subs({Q=Q3a,omega[0]=1000},[p12]));
Pt3a:=evalc(subs({K=1000^2,p1=subs({Q=Q3a,omega[0]=1000},[p12])[1],p2=subs({Q=Q3a,omega[0]=1000},[p12])[2]},Pt));
plot(Pt3a,t=0..0.05,title='Impulzní charakteristika',
labelfont=[HELVETICA],axesfont=[HELVETICA,8],thickness=2);
Q3a:=0.6
xi=0.8333333335
omega_0=1000
p12=[-833.3333335+552.7707985 I,-833.3333335-552.7707985 I]
Pt3a:=1809.068067 e-833.3333335 t sin(552.7707985 t)
```

Impulzní charakteristika



```
> Q3b:=1/sqrt(2);  
xi=1/(2*Q3b);  
omega[0]=1000;  
'p12'=evalf(subs({Q=Q3b,omega[0]=1000},[p12]));  
Pt3b:=evalf(evalc(subs({K=1000^2,p1=subs({Q=Q3b,omega[0]=  
1000},[p12])[1],p2=subs({Q=Q3b,omega[0]=1000},[p12])[2]},Pt))  
);  
plot(Pt3b,t=0..0.05,title=`Impulzní charakteristika`,  
labelfont=[HELVETICA],axesfont=[HELVETICA,8],thickness=2);
```

$$Q3b := \frac{1}{2} \sqrt{2}$$

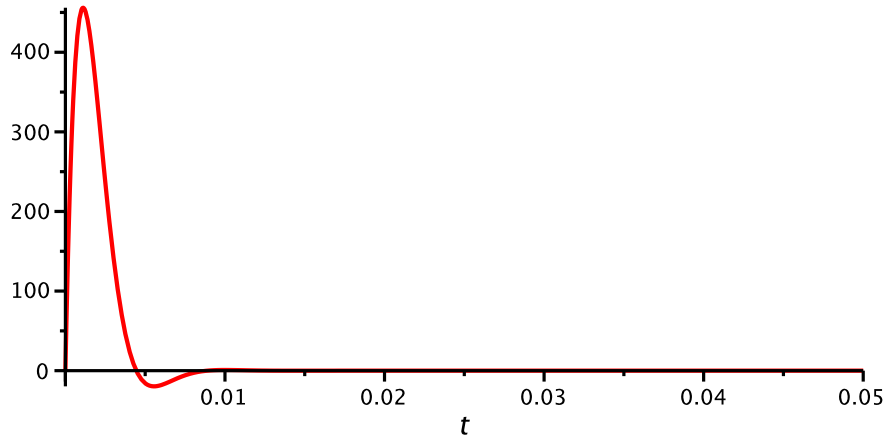
$$\xi = \frac{1}{2} \sqrt{2}$$

$$\omega_0 = 1000$$

$$p12 = [-707.1067810 + 707.1067810 I, -707.1067810 - 707.1067810 I]$$

$$Pt3b := 1414.213562 e^{-707.1067810 t} \sin(707.1067810 t)$$

Impulzní charakteristika

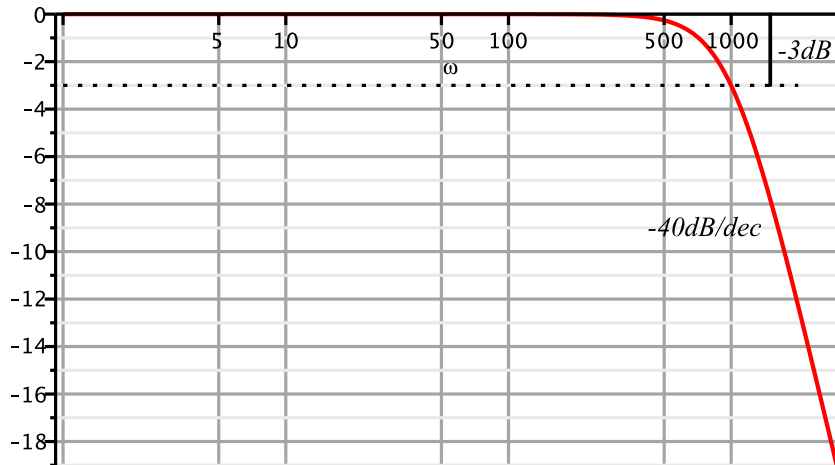


Pro tento případ ukážeme navíc odpovídající prbch modulové charakteristiky penosu - maximáln ploché.

```
> Pf:=evalc(abs(subs({Q=Q3b,omega[0]=1000,K=1000^2,p=I*omega},  
Pq)));  
pl:=semilogplot(20*log10(Pf),omega=1..3000,thickness=3,title=  
`Maximáln plochá charakteristika`,labelfont=[HELVETICA,8],  
axesfont=[HELVETICA,8],thickness=2,gridlines=true):  
t1 := textplot([1500,-1.5,`-3dB`],align=RIGHT):  
t2 := textplot([1500,-9,`-40dB/dec`],align=LEFT):  
l:=line([1,-3],[2000,-3],color=black,linestyle=2):  
v1:=arrow([1500,0],[1500,-3],2,2,.2,color=black):  
v2:=arrow([1500,-3],[1500,0],2,1,.3,color=black):  
display(pl,l,t1,v1,v2,t2);
```

$$Pf := \frac{1000000}{\sqrt{\omega^4 + 10000000000000}}$$

Maximálně plochá charakteristika



```
> Q3c:=5;
xi=1/(2*Q3b);
omega[0]=1000;
'p12'=evalf(subs({Q=Q3c,omega[0]=1000},[p12]));
Pt3c:=evalf(evalc(subs({K=1000^2,p1=subs({Q=Q3c,omega[0]=
1000},[p12])[1],p2=subs({Q=Q3c,omega[0]=1000},[p12])[2]},Pt))
);
plot(Pt3c,t=0..0.05,title=`Impulzní charakteristika`,
labelfont=[HELVETICA],axesfont=[HELVETICA,8],thickness=2);
```

$$Q3c := 5$$

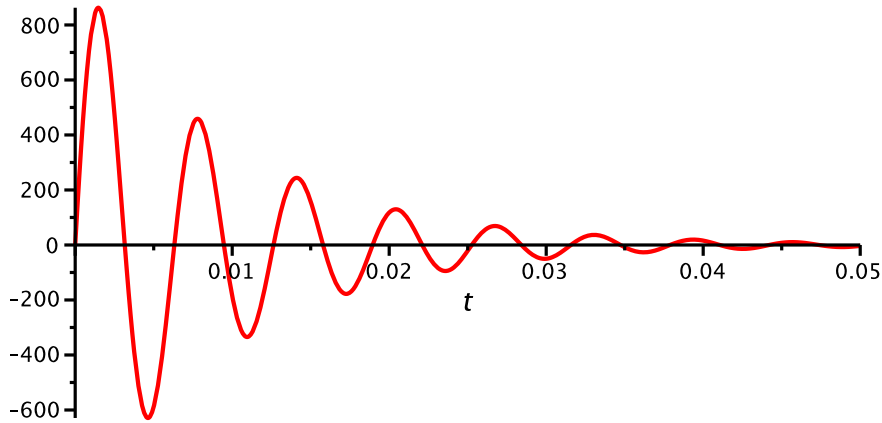
$$\xi = \frac{1}{2} \sqrt{2}$$

$$\omega_0 = 1000$$

$$p12 = [-100. + 994.9874371 I, -100. - 994.9874371 I]$$

$$Pt3c := 1005.037815 e^{-100.t} \sin(994.9874371 t)$$

Impulzní charakteristika



Dokaz uvedených skutečností

Nejdříve nahradíme do vztahu pro přenos výraz ωl_p za ω_p - pro výpočty je nutné rozlišit ω_p a ω (ω_p je jen p-tá položka proměnné ω).

```
> Pk1:=K/expand(subs({p1=sigma[p]+I*omega1[p],p2=sigma[p]-I*omega1[p]},denom(P)));
```

$$Pk1 := \frac{K}{p^2 - 2p\sigma_p + \sigma_p^2 + \omega l_p^2} \quad (3.4.1.1)$$

dosadíme za $p = I\omega$ a vypočteme absolutní hodnotu přenosu (zde a v následujících výpočtech je problém v tom, že při dosazení za p se dosadí i ve výrazech σ_p a ω_p - řešení je pejit od komplexního kmitotu v proměnné p k proměnné s)

```
> abs_Pk:=evalc(abs(K/expand(subs({p=I*omega,p1=sigma[p]+I*omega1[p],p2=sigma[p]-I*omega1[p]},denom(P))));
```

$$abs_Pk := \quad (3.4.1.2)$$

$$\left(\frac{K^2 \left(-\omega^2 + \sigma_p^2 + \omega l_p^2 \right)^2}{\left(\left(-\omega^2 + \sigma_p^2 + \omega l_p^2 \right)^2 + 4 \omega^2 \sigma_p^2 \right)^2} + \frac{4 K^2 \omega^2 \sigma_p^2}{\left(\left(-\omega^2 + \sigma_p^2 + \omega l_p^2 \right)^2 + 4 \omega^2 \sigma_p^2 \right)^2} \right)^{1/2}$$

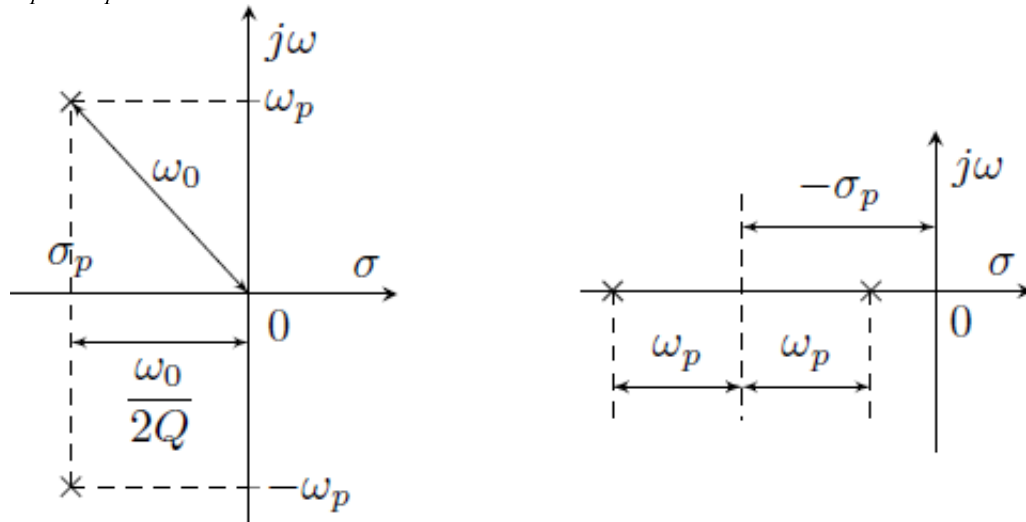
a hledáme maximum funkce abs_Pk -- ešime následující rovnici

```
> Diff('abs_Pk',omega)=0;
reseni:=solve(diff(abs_Pk,omega),omega);
```

$$\frac{\partial}{\partial \omega} abs_Pk = 0$$

$$\begin{aligned} \text{reseni} := & 0, \sqrt{\omega l_p^2 - \sigma_p^2}, -\sqrt{\omega l_p^2 - \sigma_p^2}, \sqrt{\omega l_p^2 - \sigma_p^2 + 2 I \omega l_p \sigma_p}, \\ & -\sqrt{\omega l_p^2 - \sigma_p^2 + 2 I \omega l_p \sigma_p}, \sqrt{\omega l_p^2 - \sigma_p^2 - 2 I \omega l_p \sigma_p}, \\ & -\sqrt{\omega l_p^2 - \sigma_p^2 - 2 I \omega l_p \sigma_p} \end{aligned} \quad (3.4.1.3)$$

Derivace je nulová samozřejmě v bod $\omega = 0$, a dále pro kmitoet $\omega_r = \sqrt{-\sigma_p^2 + \omega_p^2}$, pro který nastává maximum na modulové charakteristice (záporné a komplexní kmitoty samozřejmě nelze uvažovat). Tento kmitoet nazvme ω_r . Z jeho vyjádření lze vyjít, že "pekmit" na modulové charakteristice nastává pouze pro $\sigma_p < \omega_p$, $\left(\xi < \frac{1}{\sqrt{2}} < Q\right)$. Jeli $\sigma_p = 0$, jedná se o případ ist imaginárních koen a kmitoet vlastních kmit , ω_p se rovná zlomovému kmitotu ω_0 . O zlomovém kmitotu však v tomto případě nelze hovořit - jde o systém na mezi stability, jak je ukázáno dále (tvrtý případ). Ím více se hodnota ω_p blíží hodnot σ_p vzdaluje se ω_r od zlomového kmitotu ω_0 směrem k bodu $\omega = 0$ "a pekmit se zmenšuje". Je-li $\sigma_p = \omega_p$, $\left(Q = \frac{1}{\sqrt{2}} = \xi\right)$ pekmit zaniká ($\omega_r = 0$) a to je právě případ maximáln ploché charakteristiky. Jestliže je $\omega_p < \sigma_p$, $\left(Q < \frac{1}{\sqrt{2}} < \xi\right)$ nelze o extrému hovořit, jelokož nastává na komplexním (nereálném) kmitotu. To si může zvidavý tená ovit na pomoci 3D grafu. To je také případ dvojice reálných koen, kdy platí vždy $\omega_p < \sigma_p$ (viz pravou část nártu).



```
> modul1:=evalc(abs(subs({Q=2,omega[0]=1000,K=1000000,p=I*
omega},Pq))):
modul2:=evalc(abs(subs({Q=1,omega[0]=1000,K=1000000,p=I*
```

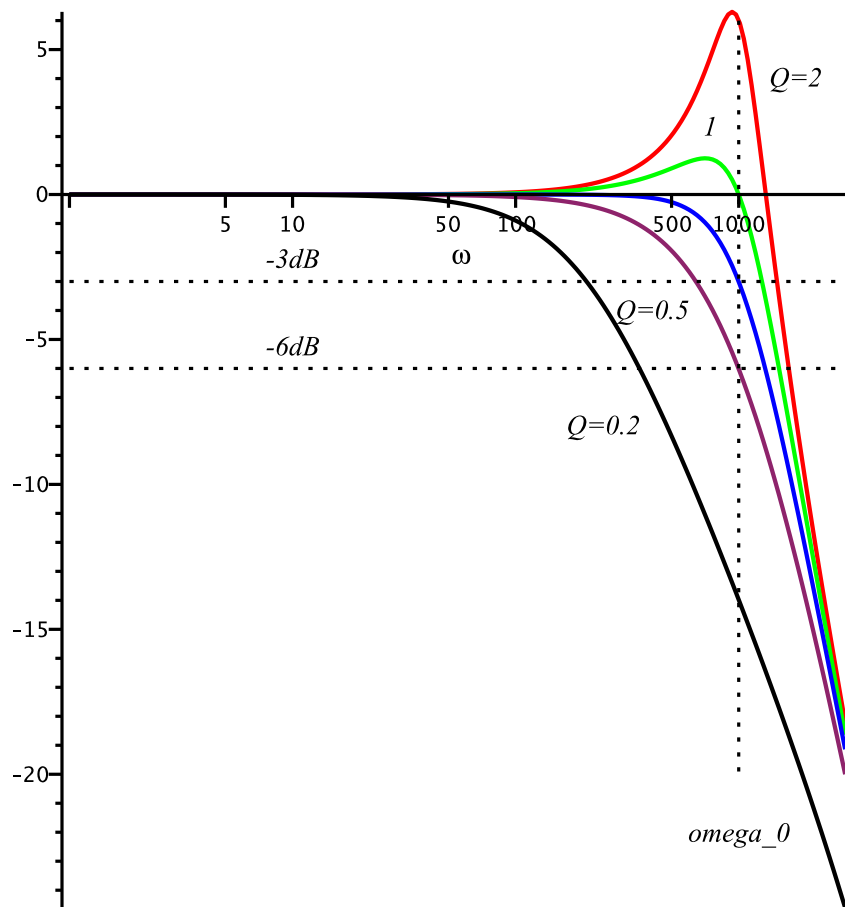
```

omega},Pq)):
modul3:=evalc(abs(subs({Q=1/sqrt(2),omega[0]=1000,K=
1000000,p=I*omega},Pq))):
modul4:=evalc(abs(subs({Q=0.5,omega[0]=1000,K=1000000,p=I*
omega},Pq))):
modul5:=evalc(abs(subs({Q=0.2,omega[0]=1000,K=1000000,p=I*
omega},Pq))):
pl1:=semilogplot(20*log10(modul1),omega=1..3000,thickness=
2,labelfont=[HELVETICA],axesfont=[HELVETICA,8],color=red):

pl2:=semilogplot(20*log10(modul2),omega=1..3000,thickness=
2,labelfont=[HELVETICA],axesfont=[HELVETICA,8],color=
green):
pl3:=semilogplot(20*log10(modul3),omega=1..3000,thickness=
2,labelfont=[HELVETICA],axesfont=[HELVETICA,8],color=blue)
:
pl4:=semilogplot(20*log10(modul4),omega=1..3000,thickness=
2,labelfont=[HELVETICA],axesfont=[HELVETICA,8],color=
maroon):
pl5:=semilogplot(20*log10(modul5),omega=1..3000,thickness=
2,title=`Modulová charakteristika pro Q=2, 1, 0.707, 0.5 a
0.2, resp. xi=0.25, 0.5, 0.707, 1, 2.5`,labelfont=
[HELVETICA],axesfont=[HELVETICA,8],color=black):
t1 := textplot([10^3,-22,`omega_0`]):
t2 := textplot([10^2.6,-8,`Q=0.2`],align=LEFT):
t3 := textplot([10^2.82,-4,`Q=0.5`],align=LEFT):
t4 := textplot([10^2.87,2.3,`1`]):
t5 := textplot([10^3.1,4,`Q=2`],align=RIGHT):
t6 := textplot([10^1,-2.8,`-3dB`],align=ABOVE):
t7 := textplot([10^1,-5.8,`-6dB`],align=ABOVE):
l1:=line([10^3,6],[10^3,-20],color=black,linestyle=2):
l2:=line([10^0,-3],[10^3.5,-3],color=black,linestyle=2):
l3:=line([10^0,-6],[10^3.5,-6],color=black,linestyle=2):
display(pl1,pl2,pl3,pl4,pl5,l1,l2,l3,t1,t2,t3,t4,t5,t6,t7)
;

```

Modulová charakteristika pro $Q=2, 1, 0.707, 0.5$ a 0.2 , resp. $\xi=0.25, 0.5, 0.707, 1, 2.5$



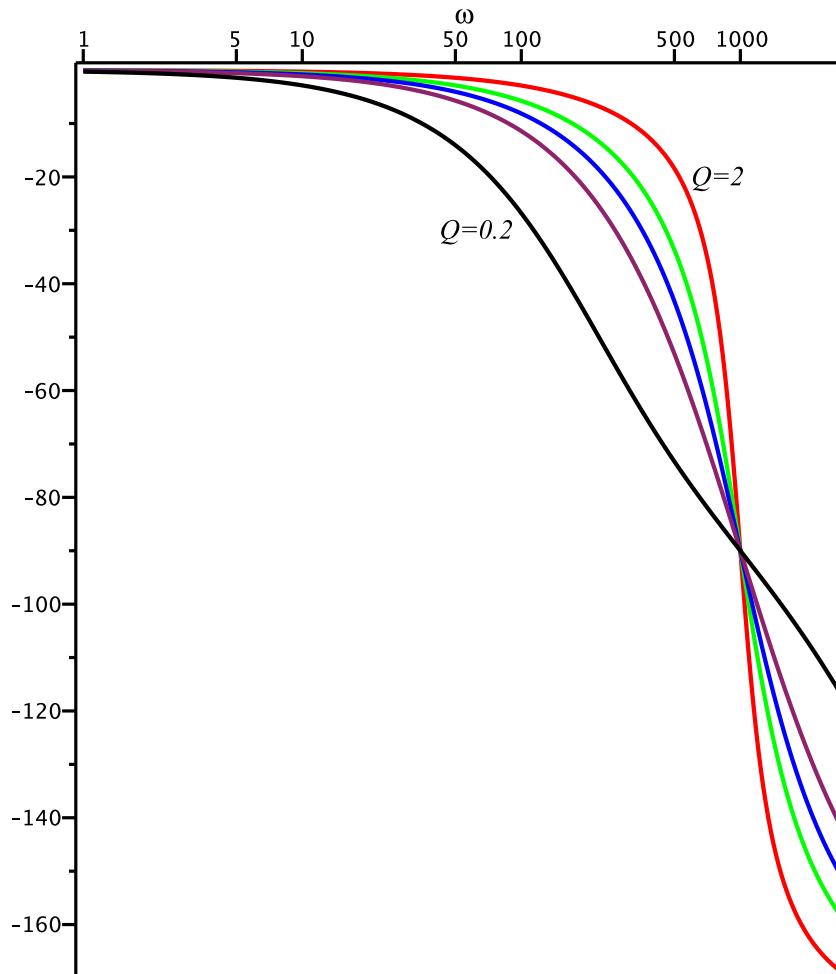
```
> faze1:=evalc(argument(subs({Q=2,omega[0]=1000,K=1000000,p=
I*omega},Pq))):
faze2:=evalc(argument(subs({Q=1,omega[0]=1000,K=1000000,p=
I*omega},Pq))):
faze3:=evalc(argument(subs({Q=1/sqrt(2),omega[0]=1000,K=
1000000,p=I*omega},Pq))):
faze4:=evalc(argument(subs({Q=0.5,omega[0]=1000,K=1000000,
p=I*omega},Pq))):
faze5:=evalc(argument(subs({Q=0.2,omega[0]=1000,K=1000000,
p=I*omega},Pq))):
ph1:=semilogplot(180/Pi*faze1,omega=1..3000,thickness=2,
numpoints=300,labelfont=[HELVETICA],axesfont=[HELVETICA,
8],color=red):
```



```
ph2:=semilogplot(180/Pi*faze2,omega=1..3000,thickness=2,
numpoints=300,labelfont=[HELVETICA],axesfont=[HELVETICA,
8],color=green):
ph3:=semilogplot(180/Pi*faze3,omega=1..3000,thickness=2,
numpoints=300,labelfont=[HELVETICA],axesfont=[HELVETICA,
8],color=blue):
ph4:=semilogplot(180/Pi*faze4,omega=1..3000,thickness=2,
numpoints=300,labelfont=[HELVETICA],axesfont=[HELVETICA,
8],color=maroon):
ph5:=semilogplot(180/Pi*faze5,omega=1..3000,thickness=2,
numpoints=300,title=`Fázová charakteristika pro Q=2, 1,
0.707, 0.5 a 0.2, resp. xi=0.25, 0.5, 0.707, 1, 2.5`,
labelfont=[HELVETICA],axesfont=[HELVETICA,8],color=black):

t1 := textplot([10^2.9,-20,`Q=2`]):
t2 := textplot([10^1.8,-30,`Q=0.2`]):
display(ph1,ph2,ph3,ph4,ph5,t1,t2);
```

Fázová charakteristika pro $Q=2, 1, 0.707, 0.5$ a 0.2 , resp. $\xi=0.25, 0.5, 0.707, 1, 2.5$



Pro úplnost ukážeme odpovídající pechodové charakteristiky (odezvu na jednotkový skok).

```
> Ptp:=invlaplace(Pq/p,p,t):
> Ptp1:=subs({Q=2,omega[0]=1000,K=1000000},Ptp):
  Ptp2:=subs({Q=1,omega[0]=1000,K=1000000},Ptp):
  Ptp3:=subs({Q=1/sqrt(2),omega[0]=1000,K=1000000},Ptp):
  Ptp4:=subs({Q=0.5,omega[0]=1000,K=1000000},Ptp):
  Ptp5:=subs({Q=0.2,omega[0]=1000,K=1000000},Ptp):
> Ptpi:=eval([seq(parse(cat("Ptp",i)),i=1..5)]);
```

$$Ptp_i := \left[1 + \frac{1}{15000} e^{-250t} \left(-15000 \cosh\left(\frac{1}{4} t \sqrt{-15000000}\right) \right) \right]$$

(3.4.1.4)

$$\begin{aligned}
& + \sqrt{-15000000} \sinh\left(\frac{1}{4} t \sqrt{-15000000}\right), 1 + \frac{1}{3000} e^{-500t} \left(\right. \\
& - 3000 \cosh\left(\frac{1}{2} t \sqrt{-3000000}\right) + \sqrt{-3000000} \sinh\left(\frac{1}{2} t \sqrt{-3000000}\right) \left. \right), 1 \\
& + \frac{1}{1000} e^{-500\sqrt{2}t} \left(-1000 \cosh\left(\frac{1}{2} t \sqrt{2} \sqrt{-1000000}\right) \right. \\
& \left. + \sqrt{-1000000} \sinh\left(\frac{1}{2} t \sqrt{2} \sqrt{-1000000}\right) \right), 1 \\
& + \text{Float(undefined)} e^{-1000.000000t}, 1 \\
& - 0.001190476190 e^{-2500.000000t} (840.00 \cosh(2291.287848 t) \\
& + 916.5151390 \sinh(2291.287848 t))]
\end{aligned}$$

Pozor, pro $Q = \frac{1}{2}$ (dvojnásobný pól) je nutné vypočítat odezvu korektn (znova, tak, jako bylo uvedeno i výše).

> **Ptp4;**

```
Ptpi[4]:=subs({p1=-1000/sqrt(2),K=1000000/2},invlaplace
(P2/p, p, t));
```

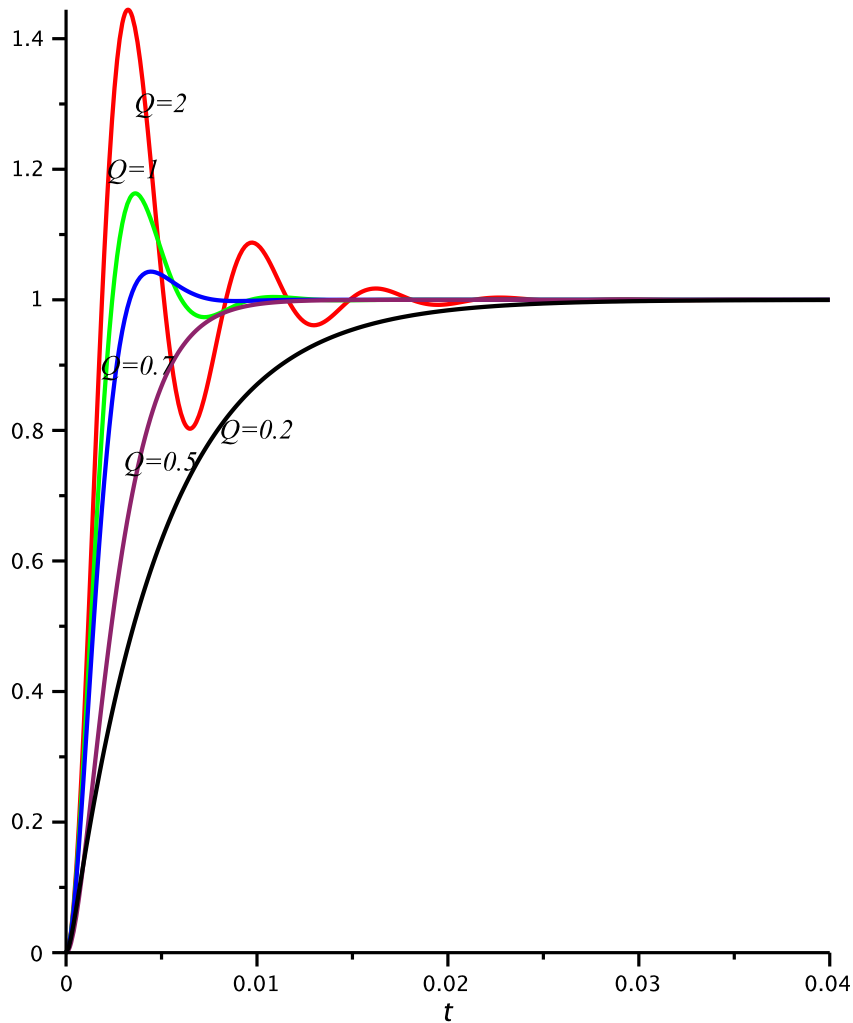
$$1 + \text{Float(undefined)} e^{-1000.000000t}$$

$$Ptpi_4 := 1 + e^{-500\sqrt{2}t} (-500\sqrt{2}t - 1)$$

(3.4.1.5)

```
> plt:=plot(Ptpi,t=0..0.04,thickness=2,numpoints=300,title=
`Fázová charakteristika pro Q=2, 1, 0.707, 0.5 a 0.2,
resp. xi=0.25, 0.5, 0.707, 1, 2.5`,labelfont=[HELVETICA],
axesfont=[HELVETICA,8],color=[red,green,blue,maroon,black]
):
t1 := textplot([0.005,1.3,`Q=2`]):t2 := textplot([0.0035,
1.2,`Q=1`]):t3 := textplot([0.0037,0.9,`Q=0.7`]):t4 :=
textplot([0.005,0.75,`Q=0.5`]):t5 := textplot([0.01,0.8,
`Q=0.2`]):
display(plt,t1,t2,t3,t4,t5);
```

Fázová charakteristika pro $Q=2, 1, 0.707, 0.5$ a 0.2 , resp. $\xi=0.25, 0.5, 0.707, 1, 2.5$



Pro případ $\sigma_p = \omega_p$ si ještě ovíme polohu zlomového kmitotu a velikost poklesu modulové charakteristiky pro tento kmitoet.

> Pk;

$$\frac{K}{p^2 - 2p\sigma_p + \sigma_p^2 + \omega_p^2} \quad (3.4.1.6)$$

Dosadíme do jmenovatele penosu $\sigma_p = \omega_p$ a nalezneme póly penosu.

> omega0:=solve(subs(sigma[p]=omega[p],denom(Pk)),p);

$$\omega_0 := (1 + I)\omega_p, (1 - I)\omega_p \quad (3.4.1.7)$$

Póly musí být komplexně združené a jejich velikost musí být rovna $\omega_0 = \sqrt{\sigma_p^2 + \omega_p^2}$, což pro náš případ vyjde.

```
> omega0_abs:=abs(omega0[1]);
```

$$\omega_{0_abs} := \sqrt{2} |\omega_p| \quad (3.4.1.8)$$

Nyní vypočteme absolutní hodnotu penosu pro $\omega = \omega_0$ a pro $\sigma_p = \omega_p$. Abychom dostali požadovaný výsledek, je nutno opt zavést předpoklad $0 < \omega_p$.

```
> Pko:=abs(K/expand(subs({p=I*omega0_abs,p1=omega[p]+I*omega[p],p2=omega[p]-I*omega[p]},denom(P))));
Pkn:=simplify(Pko) assuming omega[p]>0;
```

$$Pko := \left| \frac{K}{-2 |\omega_p|^2 - 2 I \sqrt{2} |\omega_p| \omega_p + 2 \omega_p^2} \right|$$

$$Pkn := \frac{1}{4} \frac{\sqrt{2} |K|}{\omega_p^2} \quad (3.4.1.9)$$

Dále vypočteme hodnotu penosu pro nulový kmitoet - "asymptotická" hodnota penosu.

```
> Pk0:=abs(Limit(Pk,p=0)); Pk0:=subs({omega[0]=omega[p],sigma[0]=sigma[p]},value(Pk0));
```

$$Pk0 := \left| \lim_{p \rightarrow 0} \frac{K}{p^2 - 2 p \sigma_p + \sigma_p^2 + \omega_p^2} \right|$$

$$Pk0 := \left| \frac{K}{\sigma_p^2 + \omega_p^2} \right| \quad (3.4.1.10)$$

Nyní již lze určit pokles penosu ve zlomovém kmitotu a při $\sigma_p = \omega_p$.

```
> 'Pkn/Pk0'=simplify(Pkn/subs(sigma[p]=omega[p],Pk0))
assuming omega[p]>0;
```

```
'Pkn/Pk0'=evalf(20*log10(rhs(%))); # pokles v [dB]
```

$$\frac{1}{4} \frac{\sqrt{2} |K|}{\omega_p^2 \left| \frac{K}{\sigma_p^2 + \omega_p^2} \right|} = \frac{1}{2} \sqrt{2}$$

$$\frac{Pkn}{Pk0} = -3.010299958 \quad (3.4.1.11)$$

Což je výsledek který již známe z průběhu maximálně ploché modulové charakteristiky. Podíl skutečného modulu při zlomovém kmitotu a jeho "asymptotické" hodnoty je také roven iniciteli jakosti, jak bylo výše uvedeno. Tuto skutečnost lze jednoduše dokázat i pro obecný případ.

```
> Pq;
```

(3.4.1.12)

$$\frac{K}{p^2 + \frac{p \omega_0}{Q} + \omega_0^2} \quad (3.4.1.12)$$

Dosame za $\omega = \omega_0$ (zlomový kmitoet) do výrazu pro modul penosu.

```
> Pkz:=abs(subs(p=I*omega[0],Pq));
```

$$Pkz := \left| \frac{K Q}{\omega_0^2} \right| \quad (3.4.1.13)$$

Tuto hodnotu vydíme "asymtotickou" hodnotou penosu a dostaneme:

```
> 'Pkz/Pk0'=simplify(subs(omega[0]=sqrt(sigma[p]^2+omega[p]^2),Pkz)/Pk0);
```

$$\frac{Pkz}{Pk0} = |Q| \quad (3.4.1.14)$$

Jelikož je $0 < Q$, je to dkaz našeho tvrzení. Nyní následuje dokonení výkladu.

Extrémním pípadem je pípad ryze imaginárních koen, jak bylo ukázáno výše a v tomto dlení je to následující pípad -- tvrtý.

4. Pro $Q = \infty$ dostaneme dva komplexn sdružené, ryze imaginární póly (s nuvou reálnou ástí), pro nž má impulzní charakteristika následující tvar a prbh.

```
> Q4:=infinity;
xi=0;
omega[0]=1000;
'p12'=[limit(subs(omega[0]=1000,p12[1]),Q=Q4),limit(subs(omega[0]=1000,p12[2]),Q=Q4)];
Pt4:=evalf(evalc(subs({K=1000^2,p1=rhs(%) [1],p2=rhs(%) [2]},Pt)));
plot(Pt4,t=0..0.05,title=`Impulzní charakteristika`,
labelfont=[HELVETICA],axesfont=[HELVETICA,8],thickness=2);
```

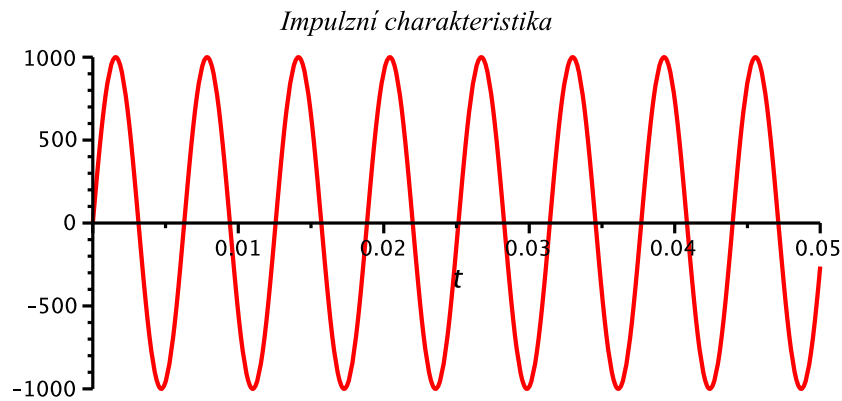
$$Q4 := \infty$$

$$\xi = 0$$

$$\omega_0 = 1000$$

$$p12 = [1000 I, -1000 I]$$

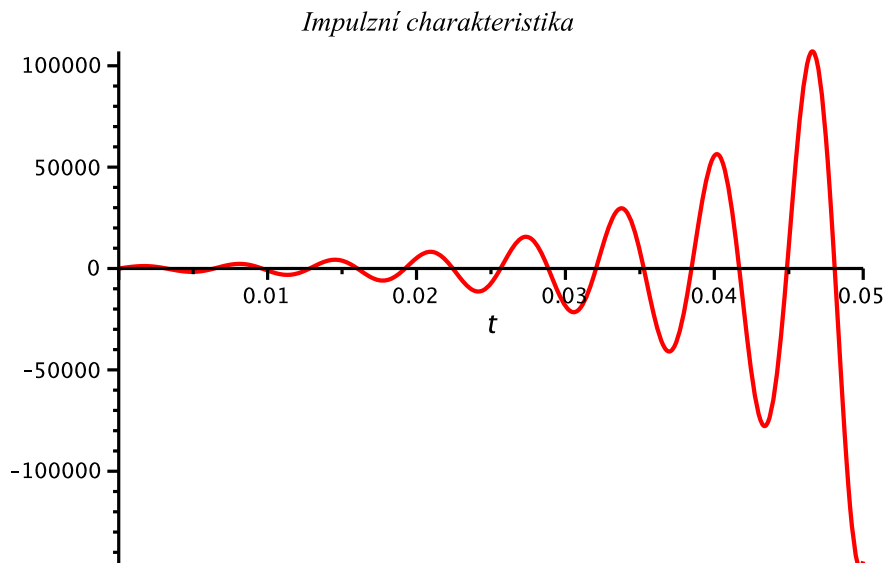
$$Pt4 := 1000. \sin(1000. t)$$



Náměť ke zpracování: Realizujte jednotlivé případy realizovat (poetn) sériovým rezonanním obvodem RLC podle výše uvedeného obrázku.

5. Posledním, i když teoretickým případem je případ komplexn sdružených koen s kladnou reálnou částí. V tomto případ nejde o stabilní systém, tudíž už nehovoíme o initeli jakosti (ten by byl stejn jako initel tlumení záporný). Pro námi zvolené hodnoty koen dostaneme:

```
> 'p12'=100+I*980,100-I*980;
Pt5:=evalf(evalc(subs({K=1000^2,p1=100+I*980,p2=100-I*980},
Pt)));
plot(Pt5,t=0..0.05,title=`Impulzní charakteristika`,
labelfont=[HELVETICA],axesfont=[HELVETICA,8],thickness=2);
p12 = 100 + 980 I, 100 - 980 I
Pt5 := 1020.408163 e100.t sin(980.t)
```



Systém s takovouto odezvou (jdoucí nade všechny meze) nelze, jak již bylo eeno, v praxi realizovat. Je nutné poznamenat, že nelze realizovat ani "istý" systém s ryze imaginárními

koeny, protože nelze v praxi tuto podmínku u "lineárních" systém udržet vlivem fluktuace parametr souástek. Proto je nutné tuto podmínku pro oscilující systémy zajistit, nejastji pomocí nelineární zptné vazby (stabilizace amplitudy). Výstupní signál je potom "tém" harmonický (s malým zkreslením). Bez této zptné vazby by se systém ustálil vlivem vlastní nelineariry, nap. vlivem koneného napájecího naptí, a tvar kmit by byl siln neharmonický (relaxaní kmity).

Toto jsou samozejm oddlené jednoduché pípady. Jsou to však všechny možné pípady, které u reálných penos lineárních nebo linearizovaných soustav nastávají. Ve složitjších pípadech lze výraz pro modul penosu rozdlit na souin takovýchto jednoduchých tvar a jelikož modul je logaritmem absolutní hodnoty tohoto souinu, resp. logaritmem souinu jednotlivých absolutních hodnot, lze jejich známé vlastnosti jednoduše spojovat (sítat). Podobn tomu je i pro fázi. Výsledná fáze je soutem fází jednotlivých ástí penosu (zde se násobí exponenciely fází, tj. exponenty = fáze se sítají). "Sítání platí i pro asové odezvy. Složitjší výraz pro penos, vyjádřený racionáln lomenu funkcí lze rozdlit na souet koenových initel a na ty pak lze aplikovat výše uvedené metody.

Nuly (a póly) penosových funkcí

U penosových funkcí obsahujících nuly penosu, je nutné si uvdomit jednu dležitou skutečnost.

Penosová funkce se totiž nemže skládat pouze z jedné nebo více nul, ale vždy musí mít i odpovídající počet pól penosu, resp. je-li penosová funkce ve tvaru racionáln lomenné funkce musí být stupe itatele nižší než stupe jmenovatele.

Vysvtlení lze podat dvma zpsoy:

- Penosová funkce $F(p)$ jakéhokoliv reálného obvodu se bude jist pro velmi vysoké kmitoty blížit nule, tj, provedeme-li substituci $p = I\omega$, musí platit $\lim_{\omega \rightarrow \infty} F(I\omega) = 0$. To bude však platit práv pro výše uvedenou vlastnost penosu.
- Druhé vysvtlení je ist matematické: *Nutná a postaující podmínka pro to, aby racionální lomenná funkce $F(p)$ byla obrazem funkce standardního typu je, tato: Stupe itatele je nižší než stupe jmenovatele.* (Musí také platit První vta o limit $\lim_{p \rightarrow \infty} F(p) = 0$, kde $F(p)$ je obraz pedmtu $f(t)$ standardního typu, resp. kdyby tato limita neplatila, nebude $f(t)$ standardního typu). Dkaz této vty není pedmtem našeho zájmu, tudíž se jím nebudem zabývat. Lze ho však nalézt nap. v [LT], (viz také [odezva.mws](#)).

Pokusíme-li se pesto najít pedmt nap. funkce 1. Víme, že pedmtem je Diracova funkce, tj. není funkce standardního typu (není to také reálný signál).

```
> invlaplace(1,p,t);
```

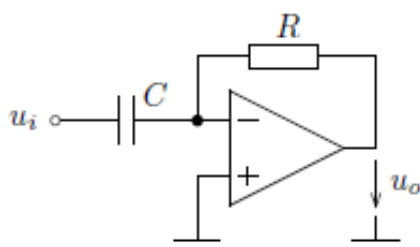
$$\text{Dirac}(t) \quad (2)$$

```
> Int(Dirac(t),t = -infinity..infinity):%=value(%);
```

$$\int_{-\infty}^{\infty} \text{Dirac}(t) dt = 1 \quad (3)$$

Obvodem, jež v ideálním pípad nebude mít žádný pól kmitotov závislého penosu, mže být nap.

derivátor. Ten je ukázán na následujícím obrázku. Jeho penos je roven $F(p) = \frac{U_0(p)}{U_i(p)} = -pCR$.



Inverzní Laplaceovu transformaci tohoto penosu lze vyjádřit vztahem:

$$\begin{aligned} > \text{invlaplace}(p \cdot \tau, p, t); \\ & \tau \text{ Dirac}(1, t) \end{aligned} \quad (4)$$

Podmínka k Laplaceovu obrazu obecného typu $K(p - p_0)$ je vyjádřen následujícím výsledkem.

$$\begin{aligned} > \text{invlaplace}(K \cdot (p - n_0), p, t); \\ & K (\text{Dirac}(1, t) - n_0 \text{Dirac}(t)) \end{aligned} \quad (5)$$

Zde je ukázáno, co je mínno zápisem $\text{Dirac}(1, t)$. Je to zejm derivace Diracovy funkce, což je opt nereálný signál.

$$\begin{aligned} > \text{Diff}(\text{Heaviside}(t), t) \% \text{value}(\%); \\ > \text{Diff}(\text{Dirac}(t), t) \% \text{value}(\%); \\ > \text{Diff}(\text{Dirac}(1, t), t) \% \text{value}(\%); \\ & \frac{d}{dt} \text{Heaviside}(t) = \text{Dirac}(t) \\ & \frac{d}{dt} \text{Dirac}(t) = \text{Dirac}(1, t) \\ & \frac{d}{dt} \text{Dirac}(1, t) = \text{Dirac}(2, t) \end{aligned} \quad (6)$$

Je nutné si uvdomit, že v případě realizace výše uvedeného zapojení při použití reálného operačního zesilovače nedostaneme, vlivem jeho kmitotové závislosti, pro penos uvedený vztah. V reálných podmínkách bude tedy vždy platit, že stupeň čitatele je nižší než stupeň jmenovatele penosu (pro velmi vysoký kmitoet se bude penos blížit k nule - vlivem kmitotové závislosti zesílení, výstupní vnitní impedanci a výstupní kapacit).

Vnůjme se však ještě dalšímu idealizovanému případu, kdy je stupeň čitatele i jmenovatele penosové funkce shodný a tudíž je penos takového systému nenulový i pro $\omega = \infty$, což nelze v praxi realizovat. Uvedený případ demonstrujme na penosu, který obsahuje jednu nulu i pól v levé polorovině komplexní roviny p .

$$\begin{aligned} > P := K \cdot (p - n_1) / (p - p_1); \\ & P := \frac{K(p - n_1)}{p - p_1} \end{aligned} \quad (7)$$

Reálná pól i nula penosu v levé polorovině

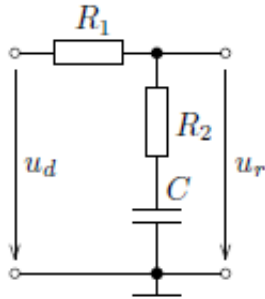
Případ $|n_1| > |p_1|$

Nap. pro $n_1 = -1000$, $p_1 = -100$ a $K = \frac{1}{11}$ dostaneme

$$> \text{Pf} := \text{subs}(\{K=1/11, n_1=-1000, p_1=-100, p=\text{sigma}+I \cdot \text{omega}\}, P);$$

$$Pf := \frac{1}{11} \frac{\sigma + I\omega + 1000}{\sigma + I\omega + 100} \quad (4.1.1)$$

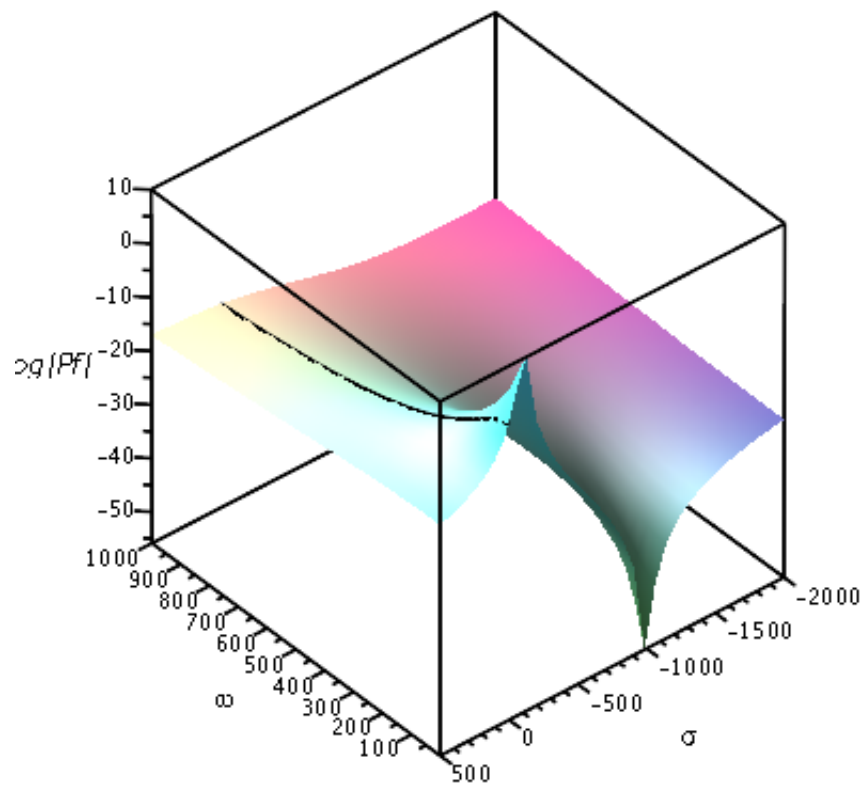
V našem pípád by mohl obvod realizující takovýto penos vypadat napíklad tak, jak je ukázáno na tomto obrázku.



Závislost penosu na komplexním kmitotu $p = \sigma + j\omega$ je vynesena na následujícím obrázku. Pro větší dynamiku je penos vykreslen v dB.

```
> Surface:=plot3d(20*log10(abs(Pf)),omega=1..1000,sigma=-2000.
.500,style=patchnogrid,axes=box,orientation=[140,52],
numpoints=1000):
curve_o:=[omega,0,20*log10(abs(subs(sigma=0,Pf)))]:
B_o:=spacecurve(curve_o,omega=1..1000,axes=None,color=black,
thickness=2):
display(Surface,B_o,labels=[omega,sigma,`log|Pf|`],title=
`Modul penosu v závislosti na "komplexním kmitotu" p`,
labelfont=[HELVETICA],axesfont=[HELVETICA,8]);
```

Modul přenosu v závislosti na "komplexním kmitočtu" p

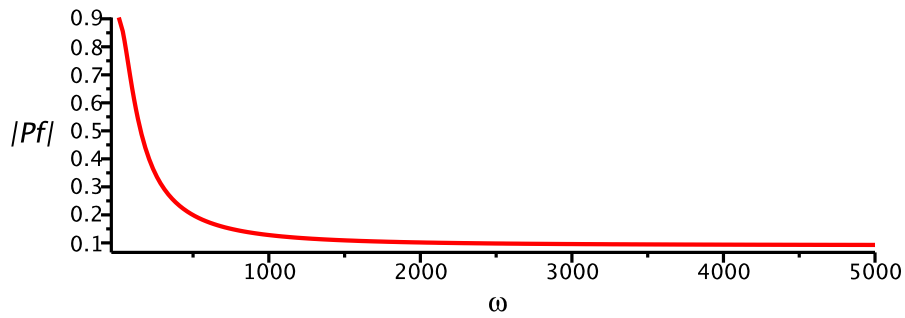


Tvar modulové charakteristiky opt dostaneme jako ez pro $\sigma = 0$ tak, jak je zvýraznno. Její prbh v logatirmickém mítku kmitotu je vyneseno na dalším grafu. Je zde také fázová charakteristika, která má na první pohled nezvyklý tvar, který je dán pomrn blízkým umístním pólu a nuly penosu. (Fáze penosu zainá na 0° , potom díky pólu penosu klesá a dále vlivem nuly penosu opt stoupá až na 0°).

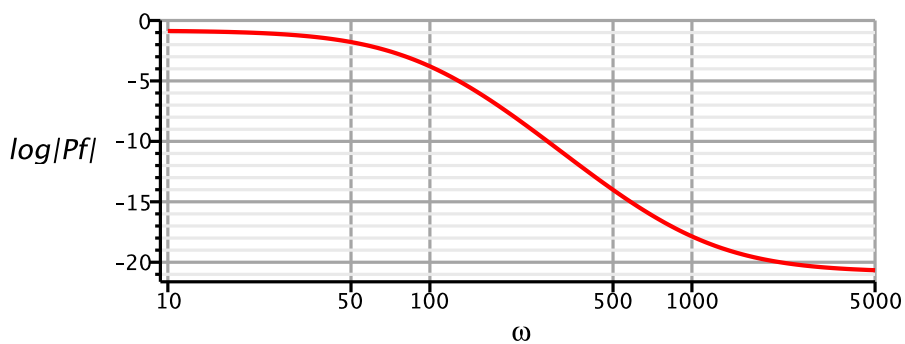
```
> plot(abs(subs(sigma=0,Pf)),omega=10..5000,title=`Modulová
charakteristika s lineárním mítkem kmitotu [dB]`,labels=
[omega,`|Pf|`],labelfont=[HELVETICA],axesfont=[HELVETICA,8],
thickness=2);
semilogplot(20*log10(abs(subs(sigma=0,Pf))),omega=10..5000,y=
-21..0,title=`Modulová charakteristika s logaritmickým
mítkem kmitotu [dB]`,labels=[omega,`log|Pf|`],axes=FRAME,
labelfont=[HELVETICA], axesfont=[HELVETICA,8],thickness=2,
gridlines=true);
semilogplot(180/Pi*argument(subs(sigma=0,Pf)),omega=5..5000,
title=`Fázová charakteristika s logaritmickým mítkem
kmitotu [deg]`,labels=[omega,`Arg(Pf)`], axes=FRAME,
labelfont=[HELVETICA], axesfont=[HELVETICA,8],thickness=2,
```

```
gridlines=true);
```

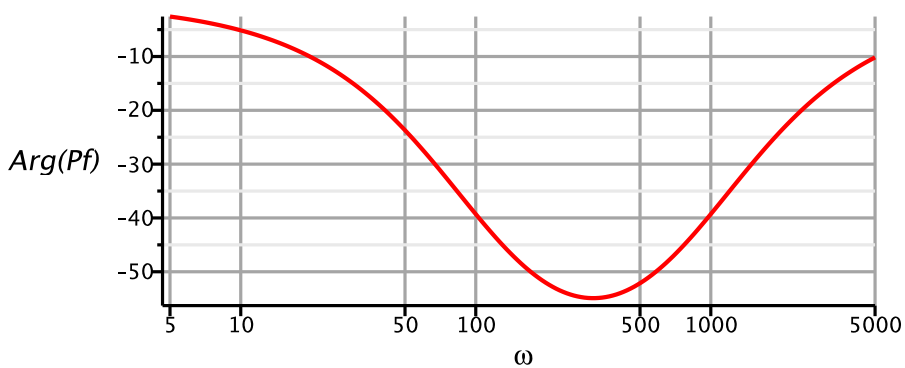
Modulová charakteristika s lineárním měřítkem kmitočtu [dB]



Modulová charakteristika s logaritmickým měřítkem kmitočtu [dB]



Fázová charakteristika s logaritmickým měřítkem kmitočtu [deg]



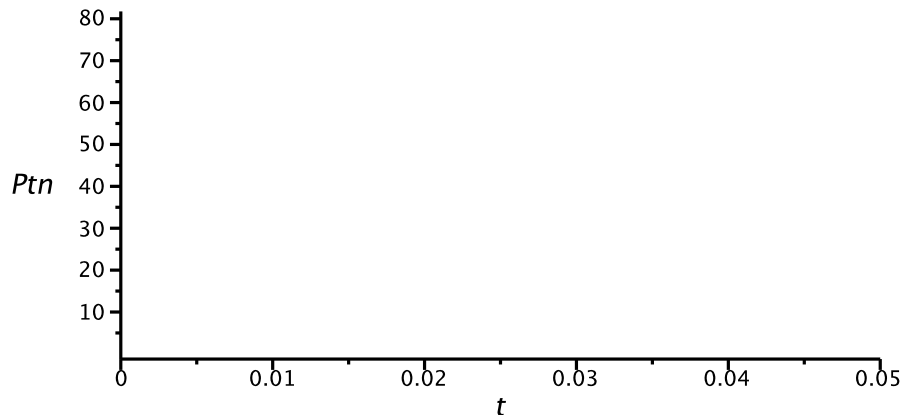
Následuje výpočet odezvy obvodu na Diracův impulz - impulzní charakteristika.

```
> Pt:=invlaplace(P, p, t);  
Ptn:=subs({K=1/11,n1=-1000,p1=-100},Pt);  
plot(Ptn,t=0..0.05,labels=[t,`Ptn`],title=`Impulzní  
charakteristika`,labelfont=[HELVETICA],axesfont=[HELVETICA,  
8],thickness=2);
```

$$Pt := K (\text{Dirac}(t) + (-n1 + p1) e^{p1 t})$$

$$P_{tn} := \frac{1}{11} \text{Dirac}(t) + \frac{900}{11} e^{-100t}$$

Impulzní charakteristika



Je patrné, že ve výstupním signálu je opt Dirakov impuls. To je pochopitelné, jelikož stupeň itatele i jmenovatele penosu je shodný. Ve skutečnosti však vlivem parazitních kapacit a indukostí vodič bude penos vykazovat další póly právě v oblasti velmi vysokých kmitot a tudíž i odezva na nereálný vstupní signál (Dirakov impuls) bude dávat na výstupu reálný signál. Toto je, jak jsme uvedli na začátku, pouze idealizovaný případ, který však pro oblasti relativně nízkých kmitot dává objektivní výsledky.

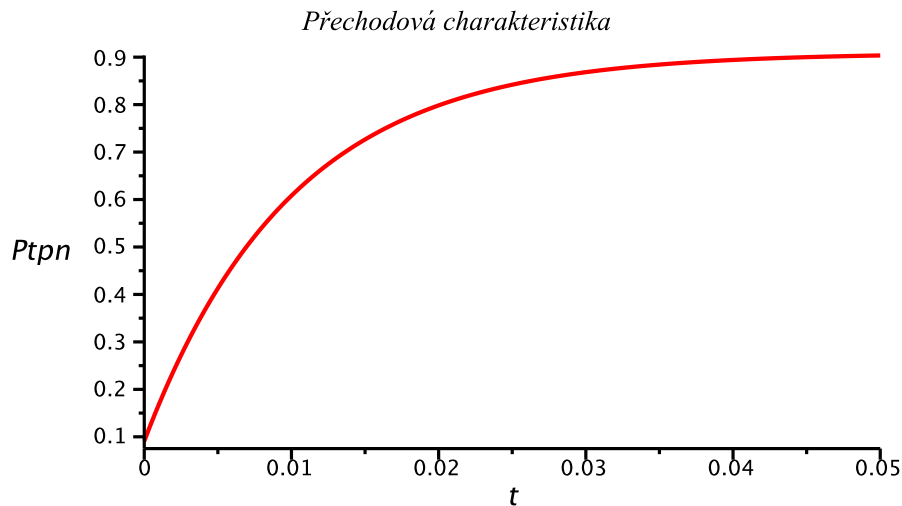
Daleko zajímavější je skutečnost, že poloha nuly penosu neovlivní charakteristiku (exponenciální, kmitavá), ale v exponentu, který tento charakter určuje, je přítomný pouze pól penosu. To je velmi důležité a vyplývá to z předchozího výkladu ([odezva.mws](#)). Poloha nuly nemá tedy vliv na stabilitu obvodu a tudíž se u stabilního systému může objevit jak v levé, tak i v pravé polorovině komplexní roviny, což si ukážeme dále.

Pro úplnost je zařazen i výpočet přechodové charakteristiky.

```
> Ptp:=invlaplace(P*1/p, p, t);
Ptpn:=subs({K=1/11,n1=-1000,p1=-100},Ptp);
plot(Ptpn,t=0..0.05,labels=[t,`Ptpn`],title=`Přechodová
charakteristika`,labelfont=[HELVETICA],axesfont=[HELVETICA,
8],thickness=2);
```

$$P_{tp} := K \left(\frac{n1}{p1} + \frac{(-n1 + p1) e^{p1 t}}{p1} \right)$$

$$P_{tpn} := \frac{10}{11} - \frac{9}{11} e^{-100t}$$

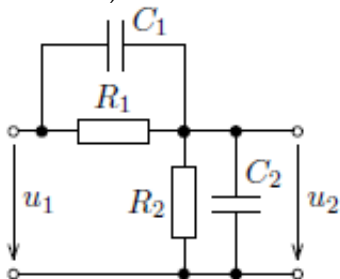


Tvar kmitotových charakteristik je dán samozřejmě i vzájemnou polohou nuly a pólu. V tomto případě byla absolutní hodnota nuly větší než absolutní hodnota pólu, tj. $|n1| > |p1|$,

▼ Příklad $|n1| < |p1|$

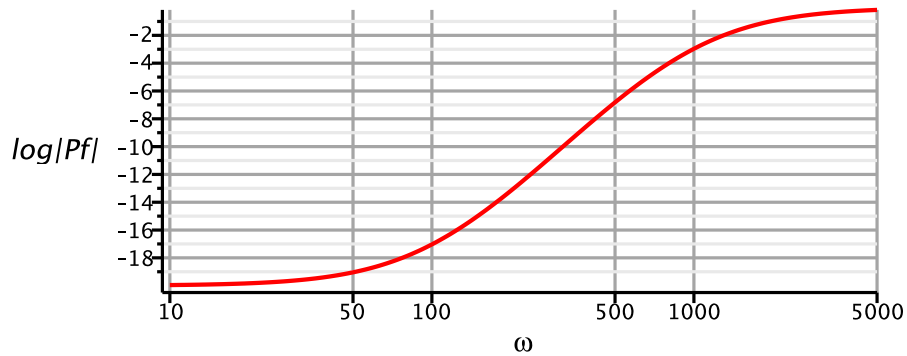
V tomto případě je $|n1| < |p1|$, nap. pro $n1 = -100$, $p1 = -1000$ je pak tvar charakteristik následující - mění se charakter filtru.

Realizace obvodu pro tento případ (resp. obecný případ) pak může vypadat následovně, přičemž ale absolutní hodnota zesílení bude vždy menší než 1 (pro $|Pf(f)| > 1$ je nutná aktivní realizace).

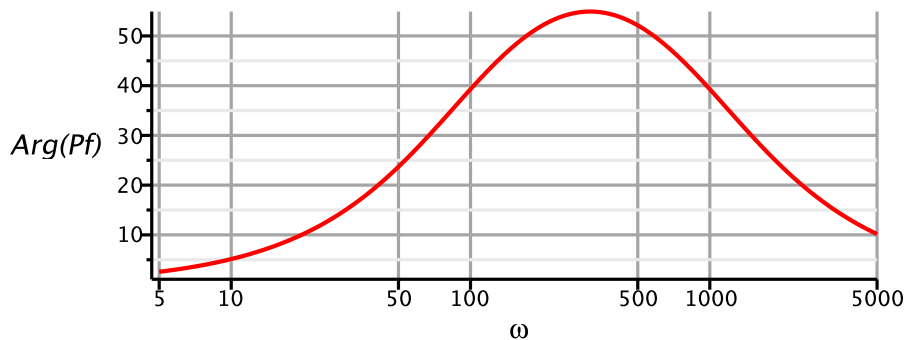


```
> semilogplot(20*log10(abs(subs({K=1,n1=-100,p1=-1000,p=I*
omega},P))),omega=10..5000,title='Modulová charakteristika s
logaritmickým mítkem kmitotu [dB]',labels=[omega,
`log|Pf|`],axes=FRAME,labelfont=[HELVETICA],axesfont=
[HELVETICA,8],thickness=2,gridlines=true);
semilogplot(180/Pi*argument(subs({K=10,n1=-100,p1=-1000,p=I*
omega},P)),omega=5..5000,title='Fázová charakteristika s
logaritmickým mítkem kmitotu [deg]',labels=[omega,`Arg(Pf)
`],axes=FRAME,labelfont=[HELVETICA],axesfont=[HELVETICA,8],
thickness=2,gridlines=true);
```

Modulová charakteristika s logaritmičtým měřítkem kmitočtu [dB]



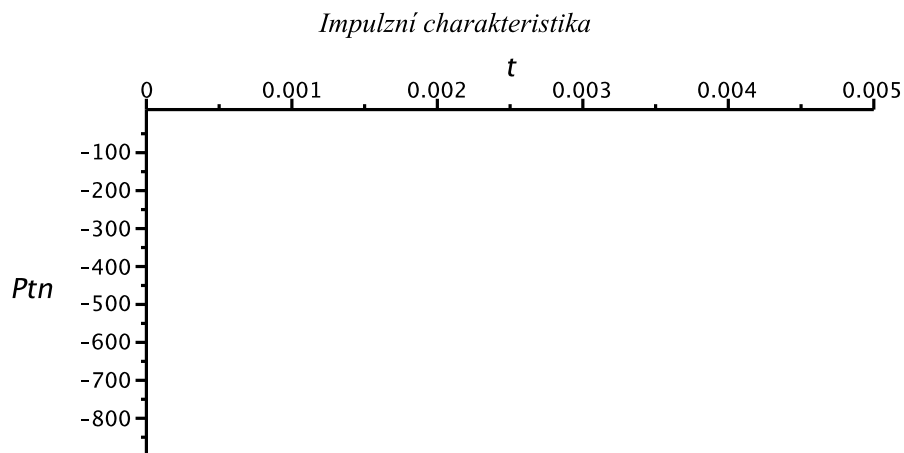
Fázová charakteristika s logaritmičtým měřítkem kmitočtu [deg]



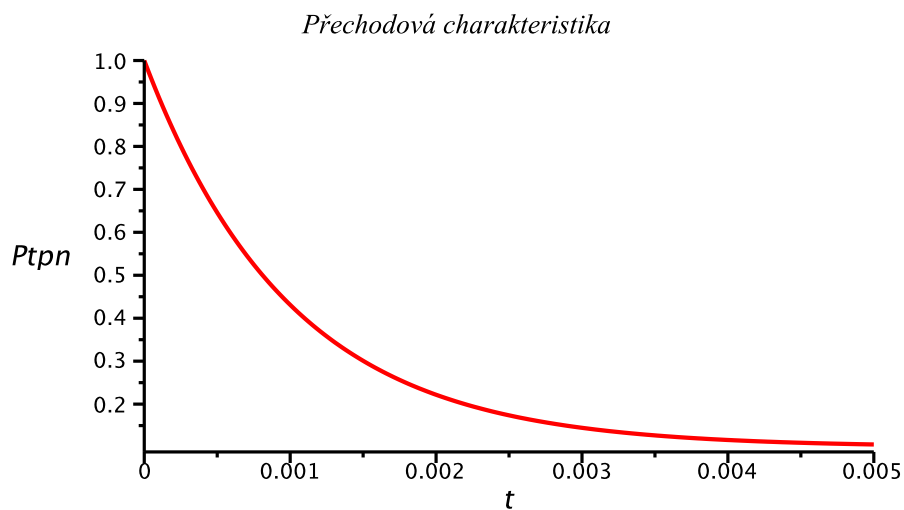
Charakter impulzní i pechodové charakteristiky se oproti pedchozímu pípadu nemní. Je dán, jak bylo uvedeno pouze charakterem pólu.

```
> Ptn:=subs({K=1,n1=-100,p1=-1000},Pt);  
plot(Ptn,t=0..0.005,labels=[t,`Ptn `],title=`Impulzní  
charakteristika`,labelfont=[HELVETICA],axesfont=[HELVETICA,  
8],thickness=2);  
> Ptpn:=subs({K=1,n1=-100,p1=-1000},Ptp);  
plot(Ptpn,t=0..0.005,labels=[t,`Ptpn `],title=`Pechodová  
charakteristika`,labelfont=[HELVETICA],axesfont=[HELVETICA,  
8],thickness=2);
```

$$Ptn := \text{Dirac}(t) - 900 e^{-1000t}$$



$$P_{tpn} := \frac{1}{10} + \frac{9}{10} e^{-1000 t}$$



▼ **Případ $n1 = p1$, konstantní penos, nezávislý na kmitotu**

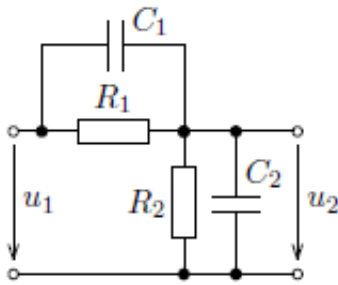
V tomto případě je penos se změní na konstantu.

> **$P_{np} := \text{subs}(n1=p1, P);$**

$$P_{np} := K$$

(4.3.1)

Obvod realizující takového penosu ($K < 1$) je uveden níže. Jedná se o shodný obvod jako v předchozím případě, kde ale bude dodrženo $R_1 C_1 = R_2 C_2$ (použití nap. v osciloskopických sondách - kmitotově nezávislý dli).



Je zejmé, že kmitotové charakteristiky budou konstantní, modulová rovna $20 \cdot \log|K|$ a fázová rovna 0. Z tohoto dvodu je nebudeme vykreslovat

Odezva obvodu na Dirakov impuls - impulzní charakteristika je Dirakov impuls a pechodová charakteristika je konstanta. Ze stejného dvodu nejsou také vykresleny.

```
> Pt:=invlaplace(Pnp, p, t);
```

```
> Ptp:=invlaplace(Pnp*1/p, p, t);
```

$$Pt := K \text{ Dirac}(t)$$

$$Ptp := K$$

(4.3.2)

Reálný pól v levé polorovin a nula penosu v nule (pro nulový kmitoet)

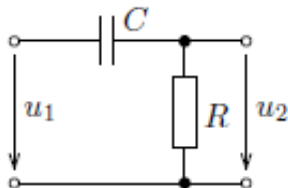
Nap. pro $p1 = -1000$ a $K = 1$ dostaneme

```
> Pf:=subs({K=1,n1=0,p1=-1000,p=sigma+I*omega},P);
```

$$Pf := \frac{\sigma + I\omega}{\sigma + I\omega + 1000}$$

(5.1)

Toto je píklad penosu obvodu, který vykazuje nulový penos pro stejnosmrný signál -- stídav vázané systémy (nap. pomocí oddlovacích kondenzátor. Takový penos lze realizovat jednoduchým deriváním RC lánkem.



Závislost penosu na komplexním kmitotu $p = \sigma + j\omega$ je vynesena na následujícím obrázku.

```
> Surface:=plot3d(20*log10(abs(Pf)),omega=1..500,sigma=-1000.
```

```
.800,style=patchnograd,axes=box,orientation=[119,64],numpoints=2000):
```

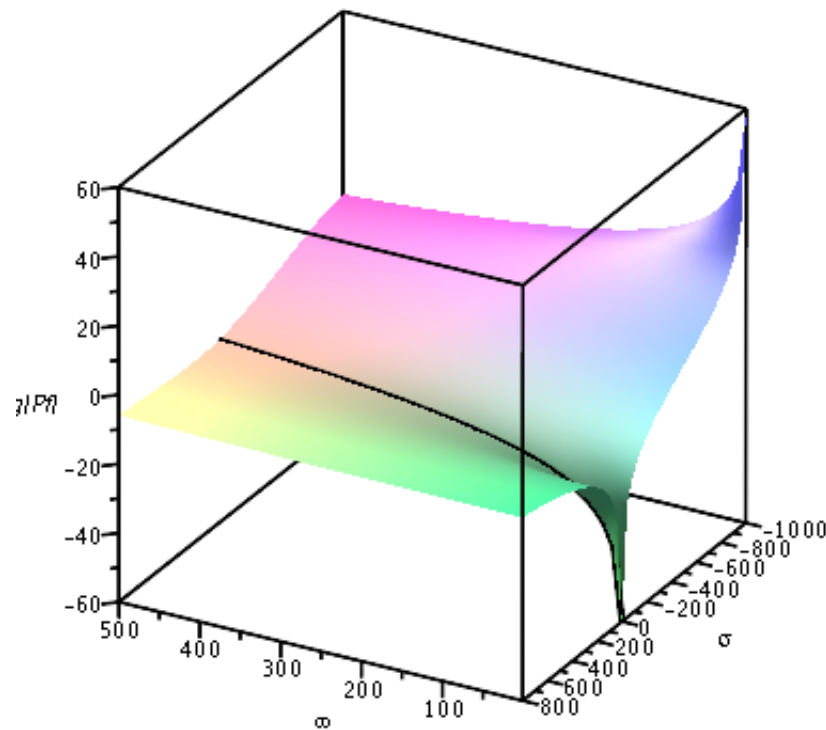
```
curve_o:=[omega,0,20*log10(subs(sigma=0,abs(Pf)))]:
```

```
B_o:=spacecurve(curve_o,omega=1..500,axes=none,color=black,thickness=3):
```

```
display(Surface,B_o,labels=[omega,sigma,`log|Pf|`],title=`Modul
```

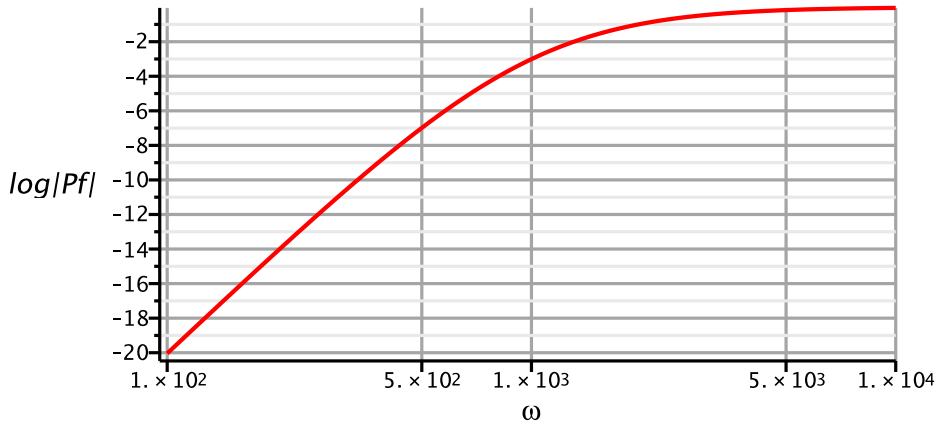
```
penosu v závislosti na "komplexním kmitotu" p`,labelfont=[HELVETICA,8],axesfont=[HELVETICA,8]);
```

Modul přenosu v závislosti na "komplexním kmitočtu" p

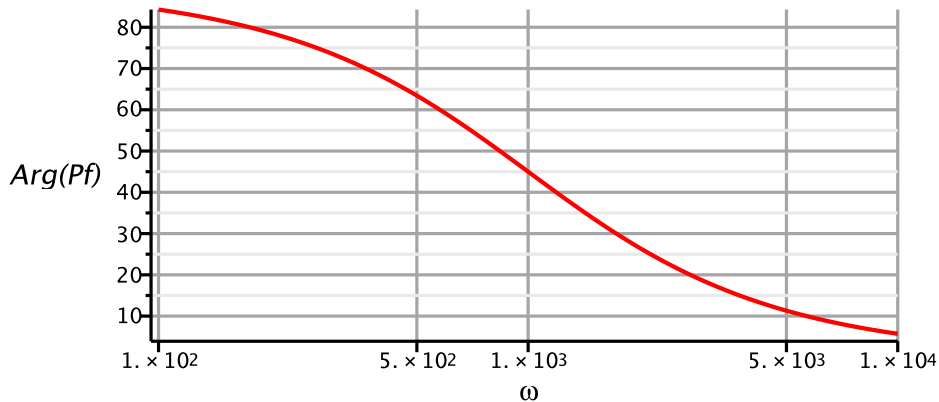


```
> semilogplot(20*log10(abs(subs(sigma=0,Pf))),omega=100..10000,  
title=`Modulová charakteristika s logaritickým mítkem  
kmitotu [dB]`,labels=[omega,`log|Pf|`],axes=FRAME,labelfont=  
[HELVETICA], axesfont=[HELVETICA,8],thickness=2,gridlines=true)  
;  
semilogplot(180/Pi*argument(subs(sigma=0,Pf)),omega=100..10000,  
title=`Fázová charakteristika s logaritickým mítkem kmitotu  
[deg]`,labels=[omega,`Arg(Pf)`], axes=FRAME,labelfont=  
[HELVETICA], axesfont=[HELVETICA,8],thickness=2,gridlines=true)  
;
```

Modulová charakteristika s logaritmickým měřítkem kmitočtu [dB]



Fázová charakteristika s logaritmickým měřítkem kmitočtu [deg]



Hodnota modulu a fáze penosu pro kmitoet rovný hodnot pólu penosu (v dB a rad.).

```
> evalf(20*log10(abs(subs({sigma=0,omega=1000},Pf))),2);
```

```
> argument(subs({sigma=0,omega=1000},Pf));
```

-3.0

$\frac{1}{4} \pi$

(5.2)

Jak bylo eeno, nuly penosu neovlivují charakter asové odezvy a tudíž i zde se na stabilit takovéto soustavy se nic nezmní. V tomto jednoduchém pípád lze navíc velmi dobe odhadnout jak tvar impulzové, tak pechodové charakteristiky.

```
> Pt:=invlaplace(subs(n1=0,P), p, t);
```

```
Ptn:=evalc(Re(subs({K=1,p1=-1000},Pt)));
```

```
plot(Ptn,t=0.00001..0.01,title=`Impulzní charakteristika`,
```

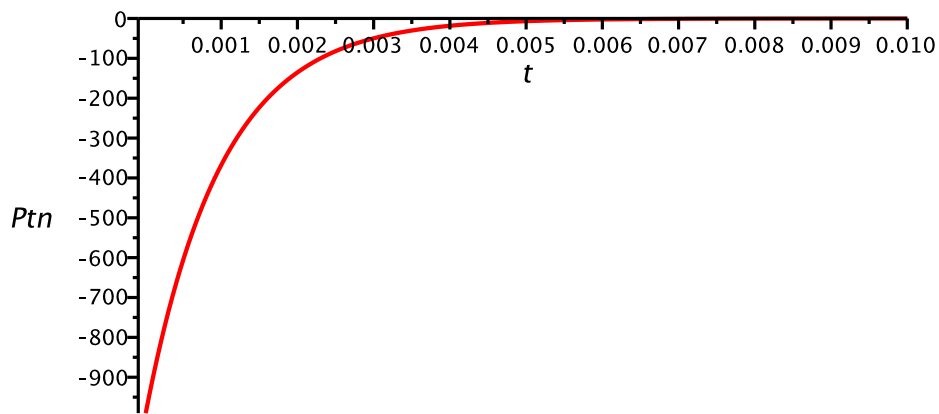
```
labels=[t,`Ptn `],labelfont=[HELVETICA],axesfont=[HELVETICA,8],
```

```
thickness=2);
```

$$Pt := K (\text{Dirac}(t) + e^{p1 t} p1)$$

$$Ptn := \text{Dirac}(t) - 1000 e^{-1000 t}$$

Impulzní charakteristika

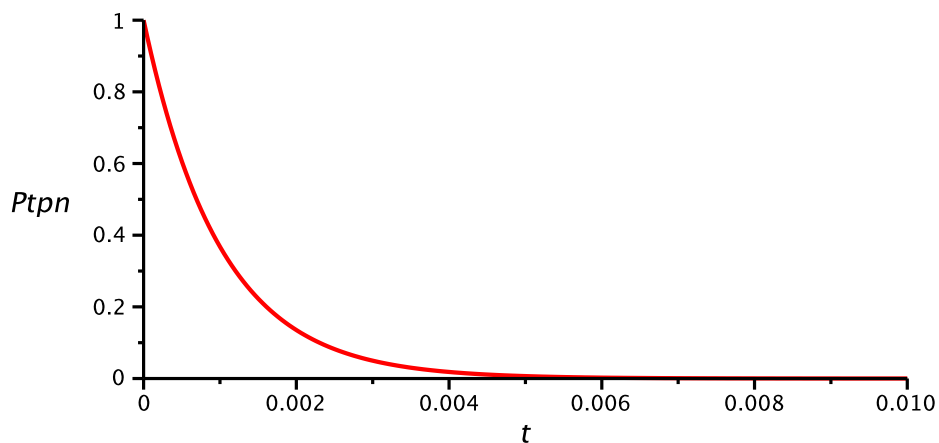


```
> Ptp:=invlaplace(subs(n1=0,P*1/p), p, t);
Ptpn:=subs({K=1,p1=-1000},Ptp);
plot(Ptpn,t=0..0.01,title=`Pechodová charakteristika`,labels=
[t,`Ptpn `],labelfont=[HELVETICA],axesfont=[HELVETICA,8],
thickness=2);
```

$$Ptp := K e^{p1 t}$$

$$Ptpn := e^{-1000 t}$$

Přechodová charakteristika



▼ Reálná pól v levé polorovin a nula penosu v pravé polorovin

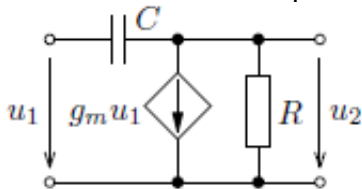
Obecný případ reálné nuly v pravé polorovin a pólu v polorovin levé ($|n1| > |p1|$)

Nap. pro $n1 = 1000$, $p1 = -100$ a $K = \frac{1}{11}$ dostaneme

```
> Pf:=subs({K=1,n1=1000,p1=-100,p=sigma+I*omega},P);
```

$$Pf := \frac{\sigma + I\omega - 1000}{\sigma + I\omega + 100} \quad (6.1.1)$$

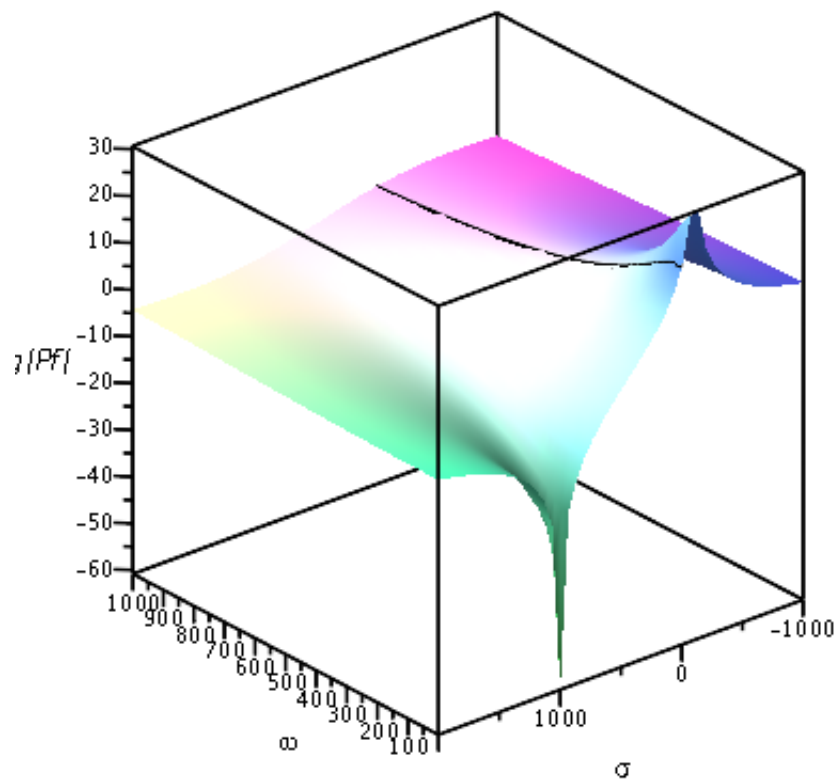
V našem případě by mohl obvod realizující takovýto penos vypadat například tak, jak je ukázáno na tomto obrázku (obvod navíc obrací fázi, tj. $K < 0$). Všimněte si, že se jedná o "aktivní obvod" - obsahuje řízený zdroj (v našem případě zdroj proudu řízený napětím). Tento obvod se navíc poměrně často vyskytuje v lineárnizovaných obvodech různých zesilovačů, tudíž se nejedná o žádný vykonstruovaný příklad. Pasivní obvod složený pouze z rezistorů, kapacitorů a induktorů má všechny nuly penosu v levé polorovině (jde o obvod s minimální fází). Odvození této skutečnosti není opět naším cílem a zvědavého čtenáře odkážeme na příslušnou literaturu.



Závislost penosu na komplexním kmitotu $p = \sigma + j\omega$ je vynesena na následujícím obrázku.

```
> Surface:=plot3d(20*log10(abs(Pf)),omega=1..1000,sigma=-1000.
.2000,style=patchnogrid,axes=box,orientation=[140,64],
numpoints=2000):
curve_o:=[omega,0,20*log10(abs(subs(sigma=0,Pf)))]:
B_o:=spacecurve(curve_o,omega=1..1000,axes=None,color=black,
thickness=2):
display(Surface,B_o,labels=[omega,sigma,`log|Pf|`],title=
`Modul penosu v závislosti na "komplexním kmitotu" p`,
labelfont=[HELVETICA],axesfont=[HELVETICA,8]);
```

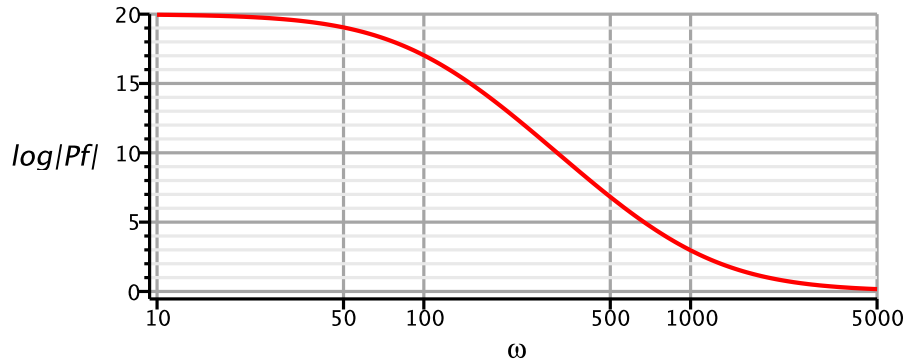
Modul přenosu v závislosti na "komplexním kmitočtu" p



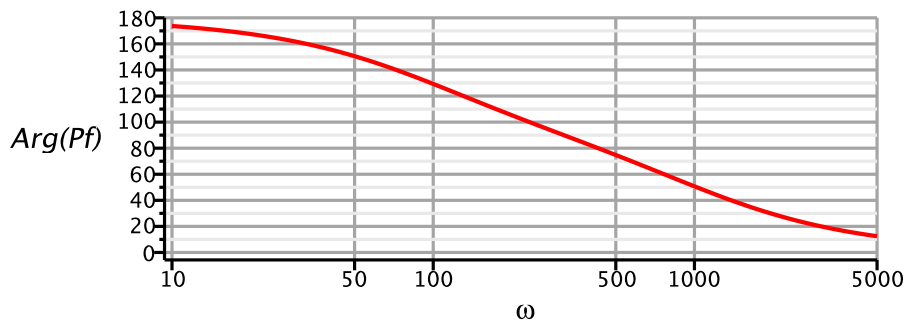
Tvar modulové charakteristiky se oproti předchozímu případu nezmění. Rozdíl však nastává v charakteristice fázové. Oproti minulému případu zde fáze penosu záiná na 180° (obvod otáčí pro stejnosměrný signál fázi), jak bylo uvedeno. Díky pólu penosu fáze klesá, ale vlivem nuly penosu fáze klesá také až na 0° . To je velmi důležité - **nula vpravo má na fázovou charakteristiku stejný vliv jako pól penosu, ale tvar modulové charakteristiky je stejný jako by tato nula ležela v levé polovině komplexní roviny**. Tento poznatek využijeme hlavně tehdy, až se budeme zabývat stabilitou zptnovazebních soustav, kde jak uvidíme je tato otázka velmi důležitá.

```
> semilogplot(20*log10(abs(subs(sigma=0,Pf))),omega=10..5000,y=0..20,title='Modulová charakteristika s logaritmickým mítkem kmitotu [dB]',labels=[omega,'log|Pf|'],axes=FRAME,labelfont=[HELVETICA],axesfont=[HELVETICA,8],thickness=2,gridlines=true);  
semilogplot(180/Pi*argument(subs(sigma=0,Pf)),omega=10..5000,y=0..180,title='Fázová charakteristika s logaritmickým mítkem kmitotu [deg]',labels=[omega,'Arg(Pf)'],axes=FRAME,labelfont=[HELVETICA],axesfont=[HELVETICA,8],thickness=2,gridlines=true);
```

Modulová charakteristika s logaritmičtým měřítkem kmitočtu [dB]



Fázová charakteristika s logaritmičtým měřítkem kmitočtu [deg]



Zde je analyzován případ $|nI| > |pI|$. Analýzu opaného případu ($|nI| < |pI|$) necháme na tenáí, zmna by odpovídala zmna v pedchozí sekci.

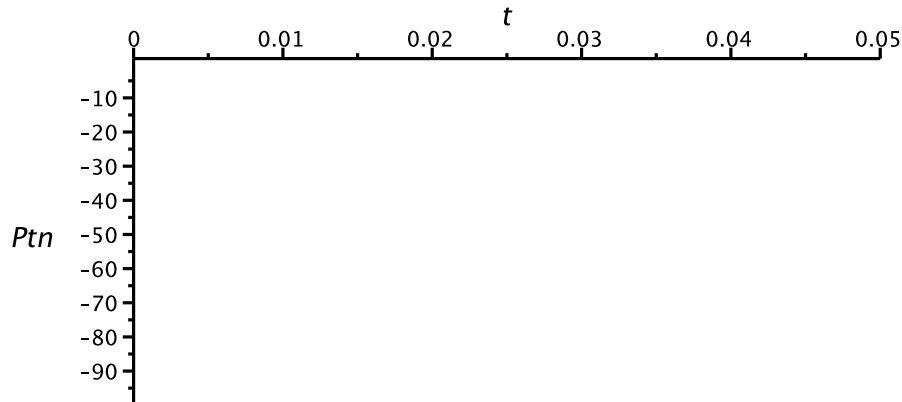
Na stabilit takovéto soustavy se nic nezmní, jak ukazují následující výpoty a jak bylo eeno již v pedchozím výkladu.

```
> Pt:=invlaplace(P, p, t);  
Ptn:=subs({K=1/11,n1=1000,p1=-100},Pt);  
plot(Ptn,t=0..0.05,labels=[t,`Ptn `],title=`Impulzní  
charakteristika`,labelfont=[HELVETICA],axesfont=[HELVETICA,  
8],thickness=2);
```

$$Pt := K (\text{Dirac}(t) + (-n1 + p1) e^{p1 t})$$

$$Ptn := \frac{1}{11} \text{Dirac}(t) - 100 e^{-100 t}$$

Impulzní charakteristika



Odezva na Dirakov impuls - impulzní charakteristika se až na znaménko velmi podobá předchízímu příkladu (ve skutečnosti se změnilo znaménko i velikost násobné konstanty exponenciály). Po odezní přechodového jevu se systém opět ustálí a výstupní signál zaniká - obvod je stabilní.

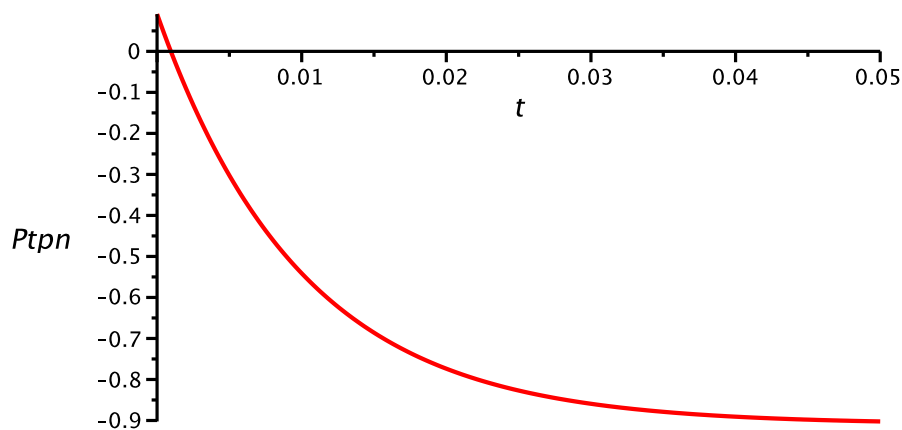
Podobně se změnila i charakteristika přechodová.

```
> Ptp:=invlaplace(P*1/p, p, t);  
Ptpn:=subs({K=1/11,p1=1000,p2=-100},Ptp);  
plot(Ptpn,t=0..0.05,labels=[t,`Ptpn`],title=`Přechodová  
charakteristika`,labelfont=[HELVETICA],axesfont=[HELVETICA,  
8],thickness=2);
```

$$Ptp := K \left(\frac{p1}{p2} + \frac{(-p1 + p2) e^{p2 t}}{p2} \right)$$

$$Ptpn := -\frac{10}{11} + e^{-100t}$$

Přechodová charakteristika



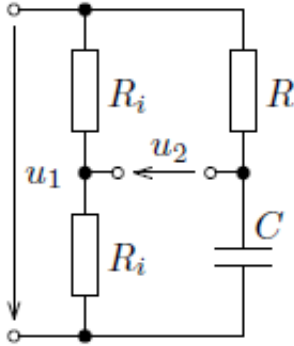
Nula v pravé polorovin se stejnou velikostí jako pól ($|n1| = |p1|$) - fázovací lánek (All Pass)

Nap. pro $n1 = 1000$, $p1 = -1000$ a $K = \frac{1}{11}$ dostaneme

```
> Pf:=subs({K=1/2,n1=1000,p1=-1000,p=sigma+I*omega},P);
```

$$Pf := \frac{1}{2} \frac{\sigma + I\omega - 1000}{\sigma + I\omega + 1000} \quad (6.2.1)$$

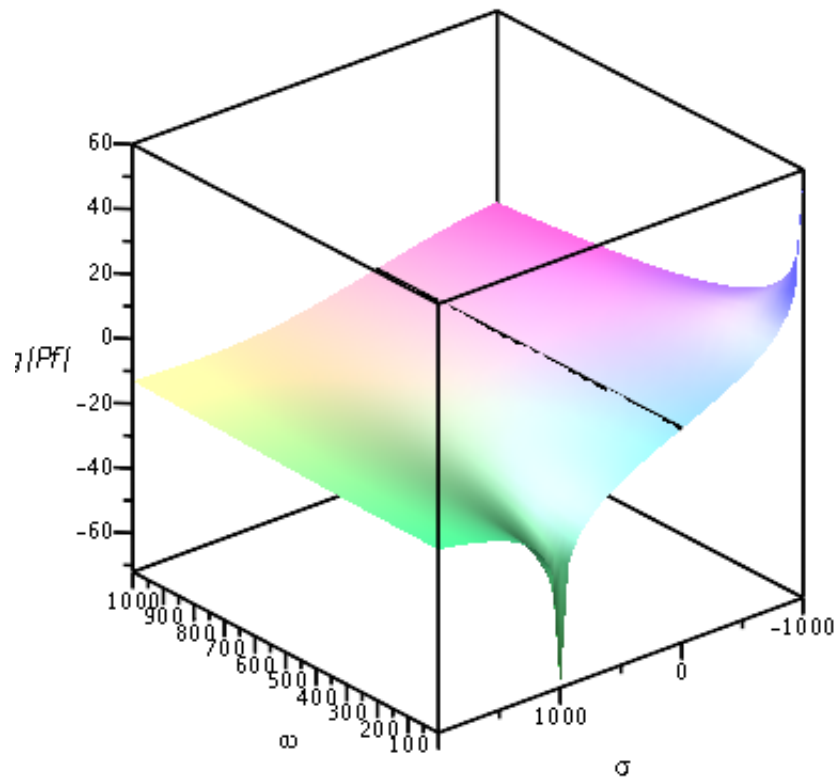
V našem případě by mohl obvod realizující takovýto penos vypadat například tak, jak je ukázáno na tomto obrázku (pasivní realizace, kdy $K=1/2$).



Závislost penosu na komplexním kmitotu $p = \sigma + j\omega$ je vynesena na následujícím obrázku.

```
> Surface:=plot3d(20*log10(abs(Pf)),omega=1..1000,sigma=-1000.
.2000,style=patchnograd,axes=box,orientation=[140,64],
numpoints=2000):
curve_o:=[omega,0,20*log10(abs(subs(sigma=0,Pf)))]:
B_o:=spacecurve(curve_o,omega=1..1000,axes=none,color=black,
thickness=2):
display(Surface,B_o,labels=[omega,sigma,`log|Pf|`],title=
`Modul penosu v závislosti na "komplexním kmitotu" p`,
labelfont=[HELVETICA],axesfont=[HELVETICA,8]);
```

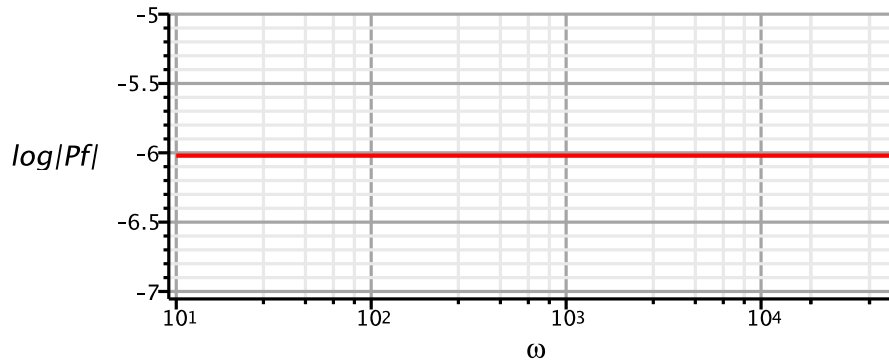
Modul přenosu v závislosti na "komplexním kmitočtu" p



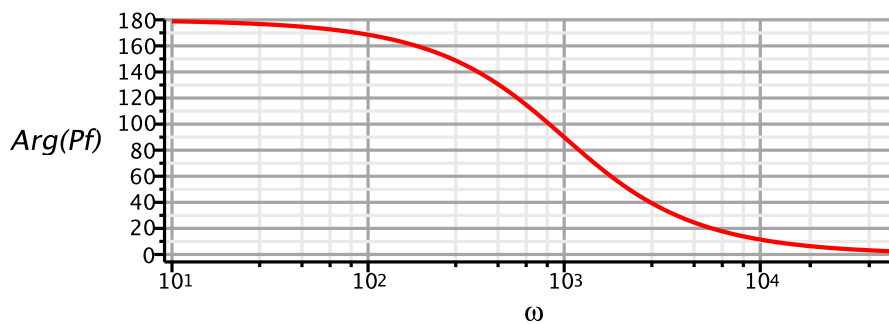
Modul přenosu je v tomto případě nezávislý na kmitotě, ale fáze se s kmitotem mění - jedná se o tzv. fázovací lánek. Nula v pravé polorovině má, jak bylo uvedeno, stejný vliv na fázovou charakteristiku jako pól v levé polorovině, tj. fáze se v tomto případě (jeden pól, jedna nula přenosu) změní celkově o 180° .

```
> semilogplot(20*log10(abs(subs(sigma=0,Pf))),omega=10..50000,  
y=-7..-5,title='Modulová charakteristika s logaritmičtým  
mítkem kmitoty [dB]',labels=[omega,'log|Pf|'],axes=FRAME,  
labelfont=[HELVETICA], axesfont=[HELVETICA,8],thickness=2,  
gridlines=true);  
semilogplot(180/Pi*argument(subs(sigma=0,Pf)),omega=10.  
.50000,y=0..180,title='Fázová charakteristika s logaritmičtým  
mítkem kmitoty [deg]',labels=[omega,'Arg(Pf)'], axes=  
FRAME,labelfont=[HELVETICA], axesfont=[HELVETICA,8],  
thickness=2,gridlines=true);
```

Modulová charakteristika s logaritmičtým měřítkem kmitočtu [dB]



Fázová charakteristika s logaritmičtým měřítkem kmitočtu [deg]



Hodnota fáze penosu pro kmitoet rovný hodnot pólu resp. nuly penosu.

```
> argument(subs({sigma=0,omega=1000},Pf));
```

$$\frac{1}{2} \pi$$

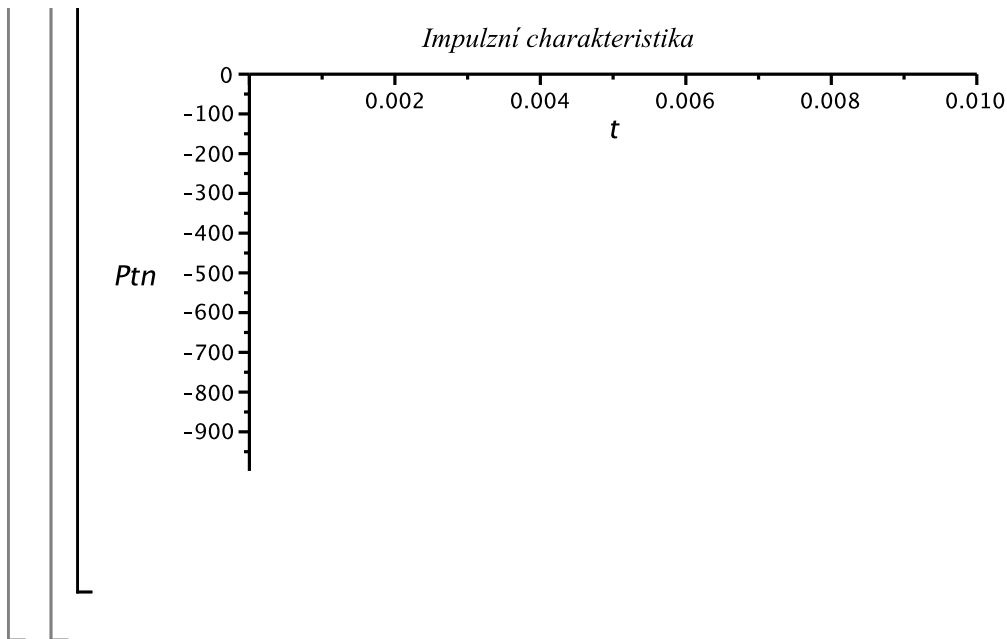
(6.2.2)

Na stabilit takovéto soustavy se nic nezmní, jak ukazují následující výpoty a jak bylo eeno již v pedchozím výkladu.

```
> Pt:=invlaplace(P, p, t);
Ptn:=subs({K=1/2,n1=1000,p1=-1000},Pt);
plot(Ptn,t=0..0.01,labels=[t,`Ptn `],title=`Impulzní
charakteristika`,labelfont=[HELVETICA],axesfont=[HELVETICA,
8],thickness=2);
```

$$Pt := K (\text{Dirac}(t) + (-n1 + p1) e^{p1 t})$$

$$Ptn := \frac{1}{2} \text{Dirac}(t) - 1000 e^{-1000 t}$$



Následující příklady penos s komplexn sdruženou dvojicí pól. Jsou ukázány vlastnosti penosu obsahující jenu nebo dv nuly penosu, ležící na reálné ose i penosu s komplexn sdruženou dvojicí nul.

▼ Komplexn sdružený pól a nuly penosu na reálné ose

```
> P:=K*(p-n1)/(p-p1)/(p-p2);
```

$$P := \frac{K(p-n1)}{(p-p1)(p-p2)} \quad (7.1)$$

▼ Obecný příklad penosu s komplexn sdruženým pólem a nulou na reálné ose

Toto je jednoduchý obecný příklad reálného penosu, kdy je stupe itatele je menší než stupe jmenovatele s nulou v pravé nebo levé polorovin a koplexn sdruženým pólem.

Nap. pro $n1=-1000$, $p1=-20 + I \cdot 100$ a $p2=-20 - I \cdot 100$ dostaneme následující kmotitové charakteristiky

```
> Pf:=subs({K=1,n1=-5000,p1=-20+I*100,p2=-20-I*100,p=I*omega},
P);
omega[0]=sqrt(20^2+100.^2); Q=rhs(%)/2/20;
semilogplot(20*log10(abs(Pf)),omega=10..100000,title=
`Modulová charakteristika s logaritmicným mítkem kmitotu
[db]`,labels=[omega,`log|Pf|`],axes=FRAME,labelfont=
[HELVETICA], axesfont=[HELVETICA,8],thickness=2,gridlines=
true);
semilogplot(180/Pi*argument(Pf),omega=10..100000,title=
`Fázová charakteristika s logaritmicným mítkem kmitotu
[deg]`,labels=[omega,`Arg(Pf)`], axes=FRAME,labelfont=
[HELVETICA], axesfont=[HELVETICA,8],thickness=2,gridlines=
```

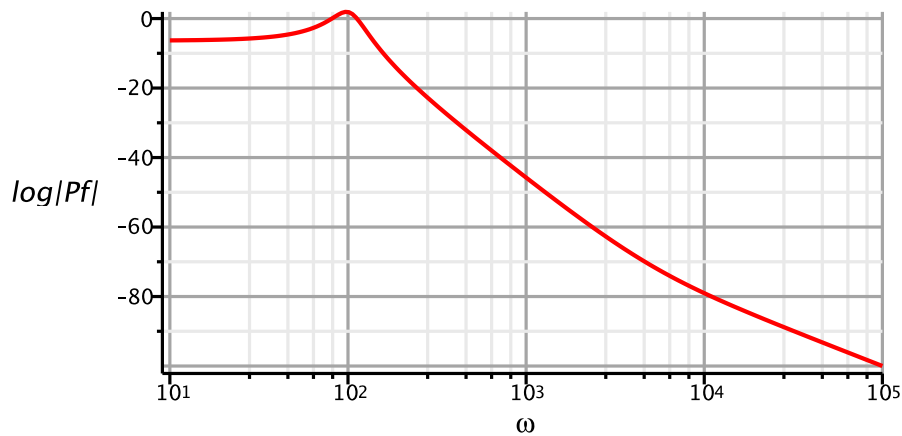
true);

$$Pf := \frac{I\omega + 5000}{(I\omega + 20 - 100I)(I\omega + 20 + 100I)}$$

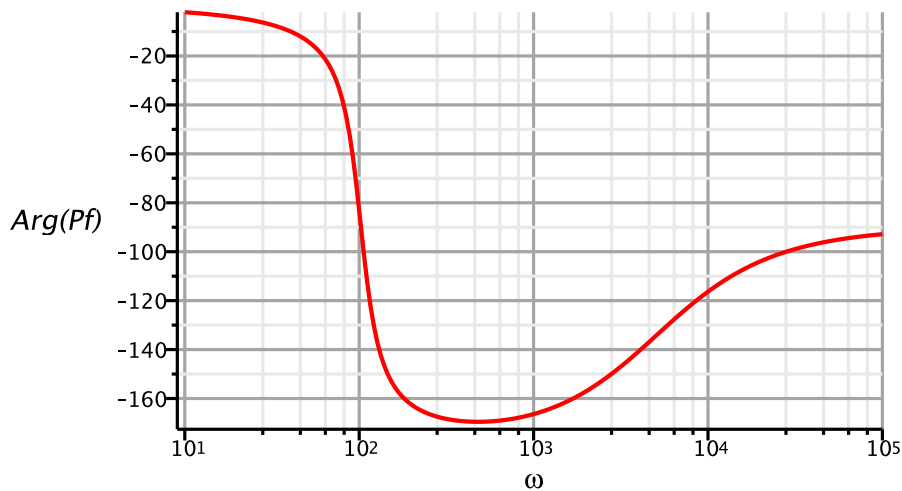
$$\omega_0 = 101.9803903$$

$$Q = 2.549509758$$

Modulová charakteristika s logaritmickým měřítkem kmitočtu [dB]



Fázová charakteristika s logaritmickým měřítkem kmitočtu [deg]



Je samozřejmé, že vliv nuly je stejný jako v předchozích případech - zde nula na kmitotu 1000 rad./s má strmost modulové charakteristiky (+20dB/dek) a v okolí tohoto kmitotu se má fázová charakteristika o +90°.

asová odezva je urena jak pro nulu na pravé, tak i na levé části reálné osy.

> Pt:=invlaplace(P, p, t);

```

Ptn1:=evalc(Re(subs({K=1,n1=-1000,p1=-20+I*100,p2=-20-I*100},
Pt)));
Ptn2:=evalc(Re(subs({K=1,n1=1000,p1=-20+I*100,p2=-20-I*100},
Pt)));
plot(Ptn1,t=0..0.3,title=`Impulzní charakteristika (nula
vlevo)`,labels=[t,`Ptn1 `],labelfont=[HELVETICA],axesfont=
[HELVETICA,8],thickness=2);
plot(Ptn2,t=0..0.3,title=`Impulzní charakteristika (nula
vpravo)`,labels=[t,`Ptn2 `],labelfont=[HELVETICA],axesfont=
[HELVETICA,8],thickness=2);

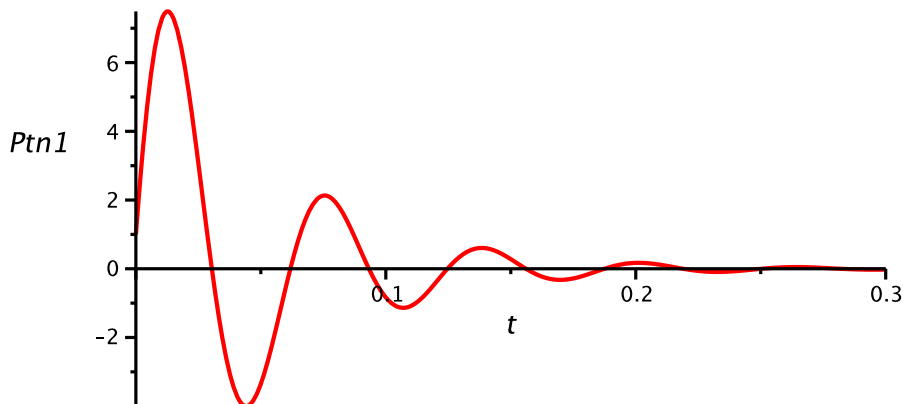
```

$$P_t := \frac{K (e^{p_1 t} (p_1 - n_1) + e^{p_2 t} (-p_2 + n_1))}{p_1 - p_2}$$

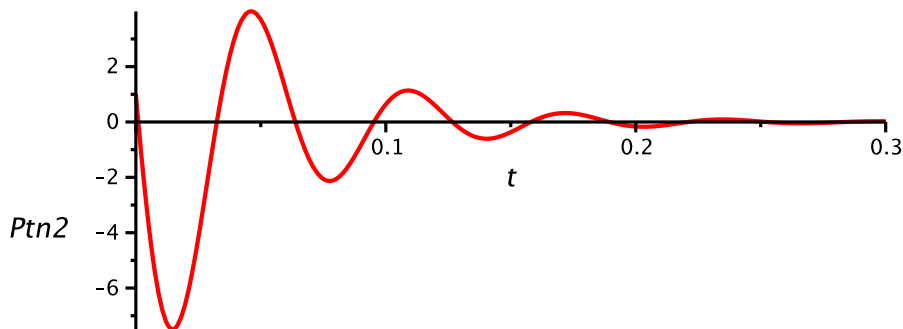
$$P_{tn1} := e^{-20t} \cos(100t) + \frac{49}{5} e^{-20t} \sin(100t)$$

$$P_{tn2} := e^{-20t} \cos(100t) - \frac{51}{5} e^{-20t} \sin(100t)$$

Impulzní charakteristika (nula vlevo)



Impulzní charakteristika (nula vpravo)



Jak je vidt z výše uvedených vztah a z tchto obrázk, poloha nuly nemá vliv na stabilitu

↳ Lobvodu, pouze mní tvar signálu odezvy. Charakter odezvy je dán chrakterem pól penosu. Dále se budeme v této kategorii zabývat specifickými případy, které se používají v oblasti kmitotových filtr. Nebudeme také udávat přímo póly penosu, ale budeme pracovat s promnnými penosu ω_0 a Q , tj. s penosem ve tvaru:

> `Pq:=numer(P)/expand(subs({p1=(-1+sqrt(1-4*Q^2))*omega[0]/2/Q, p2=(-1-sqrt(1-4*Q^2))*omega[0]/2/Q},denom(P)));`

$$Pq := - \frac{K(-p + n1)}{p^2 + \frac{p \omega_0}{Q} + \omega_0^2} \quad (7.2)$$

▼ Komplexn sdružená dvojice pól a dvojnásobná nula v nekonenu - dolní propust (DP)

Penosová funkce je ve tvaru

> `Pq1:=K/expand(subs({p1=(-1+sqrt(1-4*Q^2))*omega[0]/2/Q, p2=(-1-sqrt(1-4*Q^2))*omega[0]/2/Q},denom(P)));`

$$Pq1 := \frac{K}{p^2 + \frac{p \omega_0}{Q} + \omega_0^2} \quad (7.2.1)$$

a limitní hodnoty modulu penosu pro DC a velmi vysoký kmitoet jsou následující:

> `'Pq1(infinity) '= lim_{p \to \infty} Pq1`

$$Pq1(infinity) = 0 \quad (7.2.2)$$

> `'Pq1(0) '= lim_{p \to 0} Pq1`

$$Pq1(0) = \frac{K}{\omega_0^2} \quad (7.2.3)$$

Je zejmé, že se jedná o DP. Násobná konstanta se obvykle udává ve tvaru $K = \frac{H_0}{\omega_0}$, Potom

H_0 udává přímo zisk v propustném pásmu.

↳ Jelikož jsme se tímto typem penosu podrobn zabývali v pedhocím výkladu, nebodeme zde již jeho charakteristiky znova prezentovat.

▼ Komplexn sdružená dvojice pól a nula v nule (nulovém kmitotu) - pásmová propust (PP)

Penosová funkce je ve tvaru

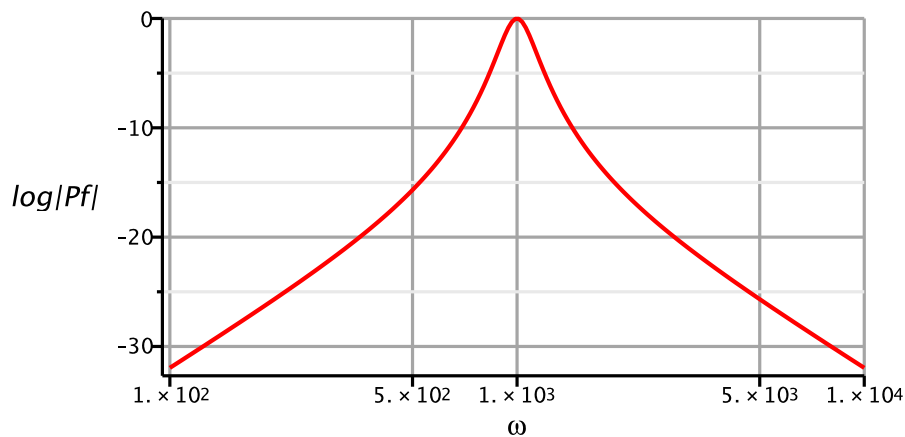
> `Pq2:=subs({n1=0},Pq);`

$$Pq2 := \frac{Kp}{p^2 + \frac{p \omega_0}{Q} + \omega_0^2} \quad (7.3.1)$$

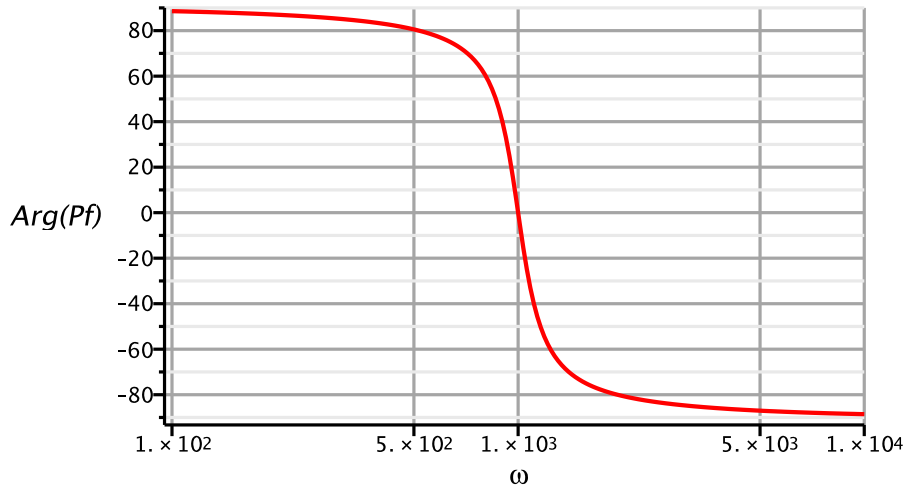
Nap. pro $\omega_0 = 1000$, $Q = -3$ a $K = \frac{\omega_0}{Q}$ dostaneme následující kmitové charakteristiky

```
> Pf:=subs({K=1000/4,omega[0]=1000,Q=4,p=I*omega},Pq2):  
semilogplot(20*log10(abs(Pf)),omega=100..10000,y=-32..0,  
title=`Modulová charakteristika s logaritmickým mítkem  
kmitotu [dB]`,labels=[omega,`log|Pf|`],axes=FRAME,labelfont=  
[HELVETICA], axesfont=[HELVETICA,8],thickness=2,gridlines=  
true);  
semilogplot(180/Pi*argument(Pf),omega=100..10000,y=-90.  
.90,title=`Fázová charakteristika s logaritmickým mítkem  
kmitotu [deg]`,labels=[omega,`Arg(Pf)`], axes=FRAME,  
labelfont=[HELVETICA], axesfont=[HELVETICA,8],thickness=2,  
gridlines=true);
```

Modulová charakteristika s logaritmickým měřítkem kmitočtu [dB]



Fázová charakteristika s logaritmičtým měřítkem kmitočtu [deg]



Volba $K = \frac{\omega_0}{Q}$ byla uřena tak, aby zisk v propustném pásmu H_0 byl práv 1, tj. 0dB, jelikož

> 'Pq2(omega[0])=H[B]'=simplify(subs(p=I*omega[0],Pq2));

$$(Pq2(\omega_0) = H_B) = \frac{K Q}{\omega_0} \quad (7.3.2)$$

Fáze penosu je pro tento zlomový kmitoet ($\omega = \omega_0$) evidentm nulová a maximum modulové charakteristiky nastává také pí tomto kmitotu.

```
> solve(diff(evalc(abs(subs(p=I*omega,Pq2))),omega),omega);
evalf(subs({K=1000/4,omega[0]=1000,Q=4},[%]));
```

$$\omega_0, -\omega_0, I\omega_0, -I\omega_0, \frac{1}{2} \frac{\sqrt{2} \sqrt{2Q^2 - 1} + \sqrt{-4Q^2 + 1}}{Q} \omega_0,$$

$$-\frac{1}{2} \frac{\sqrt{2} \sqrt{2Q^2 - 1} + \sqrt{-4Q^2 + 1}}{Q} \omega_0, \frac{1}{2} \frac{\sqrt{4Q^2 - 2} - 2\sqrt{-4Q^2 + 1}}{Q} \omega_0,$$

$$-\frac{1}{2} \frac{\sqrt{4Q^2 - 2} - 2\sqrt{-4Q^2 + 1}}{Q} \omega_0$$

[1000., -1000., 1000. I, -1000. I, 992.1567414 + 125.0000000 I, -992.1567414 - 125.0000000 I, 992.1567416 - 125.0000000 I, -992.1567416 + 125.0000000 I] (7.3.3)

Nyní najdme kmitoet poklesu modulu penosu o 3dB oproti maximumu:

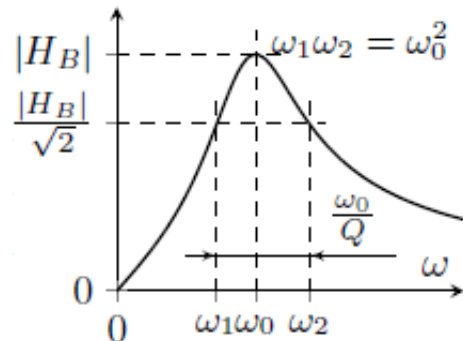
```
> om12:=solve(evalc(abs(subs(K=omega[0]/Q,p=I*omega,Pq2)))=
1/sqrt(2),omega);
evalf(subs({K=1000/4,omega[0]=1000,Q=4},[%]));
```

$$oml2 := \frac{1}{2} \frac{(1 + \sqrt{1 + 4Q^2}) \omega_0}{Q}, -\frac{1}{2} \frac{(-1 + \sqrt{1 + 4Q^2}) \omega_0}{Q},$$

$$\frac{1}{2} \frac{(-1 + \sqrt{1 + 4Q^2}) \omega_0}{Q}, -\frac{1}{2} \frac{(1 + \sqrt{1 + 4Q^2}) \omega_0}{Q}$$

$$[1132.782218, -882.782218, 882.782218, -1132.782218] \quad (7.3.4)$$

Je zejmé, že 2. a 4. výsledek je záporný. Uvažujme tedy pouze dva výsledky $oml2_1 = \omega_2$ a $oml2_3 = \omega_1$, které jsou ilustrovány na tomto obrázku a níže je dkaz uvedených skuteností.



```
> 'omega[2]-omega[1] '=simplify(oml2[1]-oml2[3]);
> 'omega[1]*omega[2] '=simplify(oml2[3]*oml2[1]);
```

$$\omega_2 - \omega_1 = \frac{\omega_0}{Q}$$

$$\omega_1 \omega_2 = \omega_0^2 \quad (7.3.5)$$

Hodnota fáze penosu pro zlomový kmitoet ω_0 .

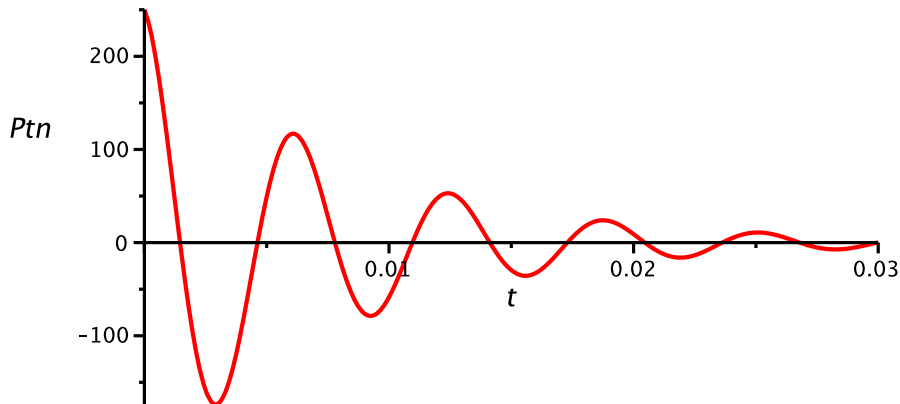
```
> simplify(evalc(argument(subs(p=I*omega[0],Pq2)))) assuming
Q>1, K>0, omega[0]>0;
0 \quad (7.3.6)
```

asová odezva je následkující

```
> Ptn:=invlaplace(subs({K=1000/4,omega[0]=1000,Q=4},Pq2), p, t)
;
plot(Ptn,t=0..0.03,title=`Impulzní charakteristika (nula
vlevo)`,labels=[t,`Ptn `],labelfont=[HELVETICA],axesfont=
[HELVETICA,8],thickness=2);
```

$$Ptn := \frac{250}{21} e^{-125t} (21 \cos(375 \sqrt{7} t) - \sqrt{7} \sin(375 \sqrt{7} t))$$

Impulzní charakteristika (nula vlevo)



Jak bylo odvozeno výše, charakter odezvy je plně určen charakterem pólů penosu, tj. kmitočet odezvy je dán imaginární částí pólu, zatímco tlumení je dáno jeho reálnou částí.

```
> 'p12'=solve(subs({omega[0]=1000,Q=4},denom(Pq2)));
```

$$p12 = (375 \sqrt{7} - 125, -125 - 375 \sqrt{7}) \quad (7.3.7)$$

Dále uvažujme penosovou funkci se dvěma nulami a dvěma (komplexně sdruženými) póly.

```
> P:=K*(p-n1)*(p-n2)/(p-p1)/(p-p2);
```

$$P := \frac{K(p-n1)(p-n2)}{(p-p1)(p-p2)} \quad (7.3)$$

Opt nebudeme uvádět přímo póly penosu, ale budeme pracovat s proměnnými penosu ω_0 a Q , tj. s penosem ve tvaru:

```
> Pq:=numer(P)/expand(subs({p1=(-1+sqrt(1-4*Q^2))*omega[0]/2/Q,
p2=(-1-sqrt(1-4*Q^2))*omega[0]/2/Q},denom(P)));
```

$$Pq := \frac{K(-p+n1)(-p+n2)}{p^2 + \frac{p\omega_0}{Q} + \omega_0^2} \quad (7.4)$$

▼ Komplexně sdružená dvojice pólů a dvojnásobná nula v nule (nulovém kmitotu) - horní propust (HP)

Penosová funkce je ve tvaru

```
> Pq3:=subs({n1=0,n2=0},Pq);
```

$$Pq3 := \frac{Kp^2}{p^2 + \frac{p\omega_0}{Q} + \omega_0^2} \quad (7.4.1)$$

Nap. také pro $\omega_0 = 1000$, $Q = -3$ a $K = 1$ dostaneme následující kmitotivé charakteristiky

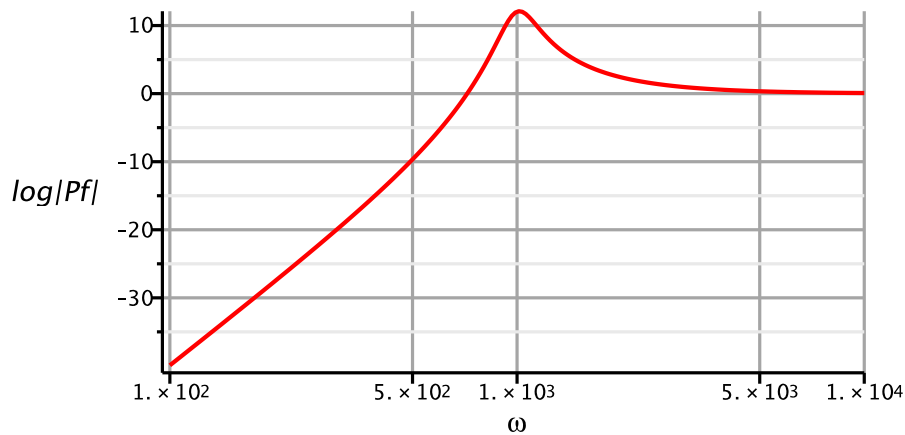
```
> Pf:=subs({K=1,omega[0]=1000,Q=4,p=I*omega},Pq3);
```

```

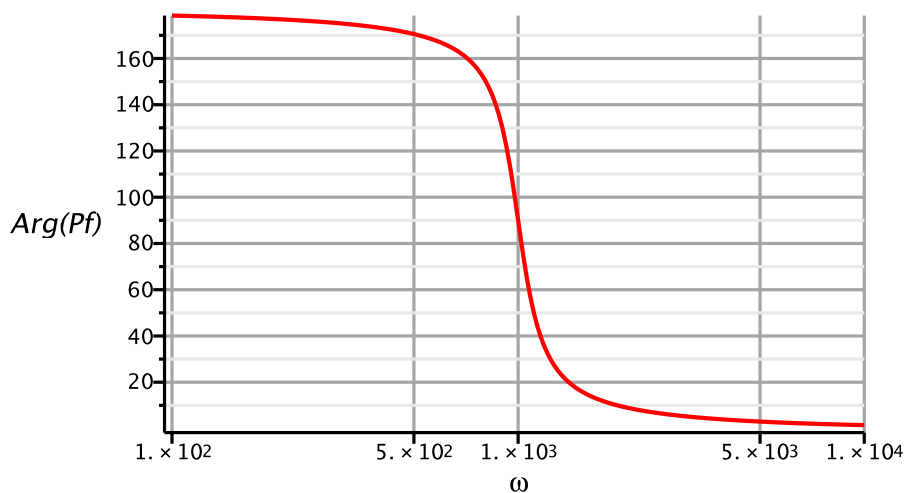
semilogplot(20*log10(abs(Pf)),omega=100..10000,title=
`Modulová charakteristika s logaritickým mítkem kmitotu
[ dB]`,labels=[omega,`log|Pf|`],axes=FRAME,labelfont=
[HELVETICA], axesfont=[HELVETICA,8],thickness=2,gridlines=
true);
semilogplot(180/Pi*argument(Pf),omega=100..10000,title=
`Fázová charakteristika s logaritickým mítkem kmitotu
[ deg]`,labels=[omega,`Arg(Pf)`], axes=FRAME,labelfont=
[HELVETICA], axesfont=[HELVETICA,8],thickness=2,gridlines=
true);

```

Modulová charakteristika s logaritickým měřítkem kmitočtu [dB]



Fázová charakteristika s logaritickým měřítkem kmitočtu [deg]



Volba $K = 1$ byla uřena tak, aby zisk v propustném pásmu H_∞ byl práv 1, tj. 0dB, jelikož

$$\begin{aligned} > \text{'Pq3(infinity)=H[infinity]'}=\text{limit(Pq3,p=infinity)}; \\ & \quad (Pq3(\infty) = H_\infty) = K \end{aligned} \quad (7.4.2)$$

Najdme kmitoet maxima modulu penosu.

$$\begin{aligned} > \text{omax}:=\text{solve}(\text{diff}(\text{evalc}(\text{abs}(\text{subs}(p=I*\omega, Pq3))), \omega), \\ & \quad \omega); \\ & \quad \text{evalf}(\text{subs}(\{K=1, \omega[0]=1000, Q=4\}, [\%])); \end{aligned}$$

$$\begin{aligned} \text{omax} := & \frac{2\omega_0 Q}{\sqrt{4Q^2-2}}, -\frac{2\omega_0 Q}{\sqrt{4Q^2-2}}, \frac{1}{2} \frac{\sqrt{2}\sqrt{2Q^2-1} + \sqrt{-4Q^2+1}}{Q} \omega_0, \\ & -\frac{1}{2} \frac{\sqrt{2}\sqrt{2Q^2-1} + \sqrt{-4Q^2+1}}{Q} \omega_0, \frac{1}{2} \frac{\sqrt{4Q^2-2} - 2\sqrt{-4Q^2+1}}{Q} \omega_0, \\ & -\frac{1}{2} \frac{\sqrt{4Q^2-2} - 2\sqrt{-4Q^2+1}}{Q} \omega_0 \end{aligned}$$

$$\begin{aligned} [1016.001016, -1016.001016, 992.1567414 + 125.0000000 I, -992.1567414 \\ -125.0000000 I, 992.1567416 - 125.0000000 I, -992.1567416 + 125.0000000 I] \end{aligned} \quad (7.4.3)$$

Maximum modulové charakteristiky je pak:

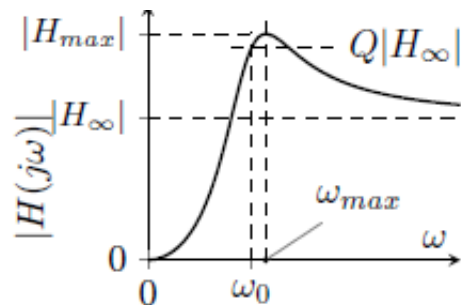
$$\begin{aligned} > \text{Hmax}:=\text{simplify}(\text{evalc}(\text{abs}(\text{subs}(p=I*\text{omax}[1], Pq3)))) \text{ assuming} \\ & \quad Q>1, K>0; \\ & \quad \text{evalf}(20*\log_{10}(\text{subs}(\{K=1, \omega[0]=1000, Q=4\}, \%))); \end{aligned}$$

$$H_{max} := \frac{2Q^2 K}{\sqrt{4Q^2-1}}$$

$$12.10959407$$

$$(7.4.4)$$

Modul a fáze penosu pro zlomový kmitoet ($\omega = \omega_0$).



$$\begin{aligned} > \text{simplify}(\text{evalc}(\text{abs}(\text{subs}(p=I*\omega[0], Pq3)))) \text{ assuming } Q>0, \\ & \quad K>0; \end{aligned}$$

$$\begin{aligned} > \text{simplify}(\text{evalc}(\text{argument}(\text{subs}(p=I*\omega[0], Pq3)))) \text{ assuming} \\ & \quad Q>0, K>0; \end{aligned}$$

$$KQ$$

$$\frac{1}{2} \pi \quad (7.4.5)$$

Hodnota fáze penosu pro zlomový kmitoet ω_0 .

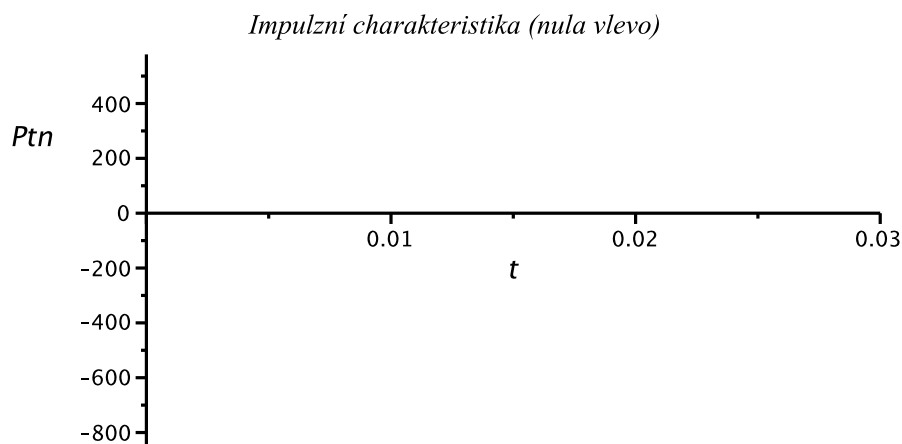
```
> simplify(evalc(argument(subs(p=I*omega[0],Pq3)))) assuming
Q>1, K>0, omega[0]>0;
```

$$\frac{1}{2} \pi \quad (7.4.6)$$

asová odezva je následující

```
> Ptn:=invlaplace(subs({K=1,omega[0]=1000,Q=4},Pq3), p, t);
plot(Ptn,t=0..0.03,title=`Impulzní charakteristika (nula
vlevo)`,labels=[t,`Ptn `],labelfont=[HELVETICA],axesfont=
[HELVETICA,8],thickness=2);
```

$$Ptn := \text{Dirac}(t) - \frac{250}{21} e^{-125t} (21 \cos(375\sqrt{7}t) + 31\sqrt{7} \sin(375\sqrt{7}t))$$



Jak bylo odvozeno výše, charakter odezvy je pln uren charakterem pól penosu, tj. kmitoet odezvy je dán imaginární ástí pólu, zatímco tlumení je dáno jeho reálnou ástí.

```
> 'p12'=solve(subs({omega[0]=1000,Q=4},denom(Pq3)));
```

$$p12 = (375 I\sqrt{7} - 125, -125 - 375 I\sqrt{7}) \quad (7.4.7)$$

V poslední ukázce je píklad penosu s dvmi nulami a dvma póly. Na nm je demonstrován vliv komplexní dvojice nul na chování obvodu (v asové i kmitotové oblasti).

Nyní již známe všechny možné pípady, které se mohou vyskytnout v penosech lineárních nebo linearizovaných soustav s jednoduchými i koplexn sdruženými póly a s jednoduchými nulami penosu. Následují pípady s koplexn sdruženou dvojicí nul penosu. Jelikož nuly penosu nemají vliv na stabilitu obvodu, je situace daleko jednoduší než tomu bylo v pípad pól penosu. Vliv na kmitotové charakteristiky je u koplexn sdružených nul pesn inverzní (zrcadlov pevrácený podle osy ω) oproti koplexn sdruženým pólům, tudíž známý. Rozdíl je pouze v pípad nul v pravé polorovin, kde modulová charakteristika zstává inverzní, ale fázová chrakteristika je shodná jako v pípad pól. O píspvcích jednotlivých pól na celkové vlastnosti (v kmitotové oblasti) jsme hovoili

na závěr minulé kapitoly ([aeo_pol.mws](#)). Tyto poznatky samozřejmě platí i zde, pro penosy obsahující jak póly tak nuly.

Definujme penos opt v následujícím tvaru, který také upravíme pro zadání parametru ω_0 a Q , tj. s penosem ve tvaru Pq .

```
> P:=K*(p-n1)*(p-n2)/(p-p1)/(p-p2);
> Pq:=numer(P)/expand(subs({p1=(-1+sqrt(1-4*Q^2))*omega[0]/2/Q,p2=
(-1-sqrt(1-4*Q^2))*omega[0]/2/Q},denom(P)));
```

$$P := \frac{K(p-n1)(p-n2)}{(p-p1)(p-p2)}$$

$$Pq := \frac{K(-p+n1)(-p+n2)}{p^2 + \frac{p\omega_0}{Q} + \omega_0^2}$$

(8)

▼ Komplexně sdružený pól i nula penosu